



Les puces optiques

ou

Circuits intégrés photoniques

Raphaël K. Kribich

kkribich@um2.fr

http://www.ies.univ-montp2.fr/~kribich

Contenu'

- 1. Présentation.
- 2. Fabrication.
- 3. Principes fondamentaux:
 - 1. Confinement de la lumière.
 - 2. Propagation de la lumière dans un guide.
- 4. Principaux circuits:
 - 1. Coupleur Y.
 - 2. Coupleur en X.
 - 3. Interféromètres.
 - 4. Réseau de diffraction.

Intérêts de l'optique

Rapidité Bande passante large

<u>Distance</u> Faible atténuation

Compatibilité électromagnétique Haute fréquence

Sûratá Das de charge álestrique

Sûreté Pas de charge électrique

Sécurité Piratage difficile

Observation Imagerie

Analyse Interaction avec la matière

Applications de la photonique

Transports



Biomédical



Informatique Multimedia



Éclairage Affichage



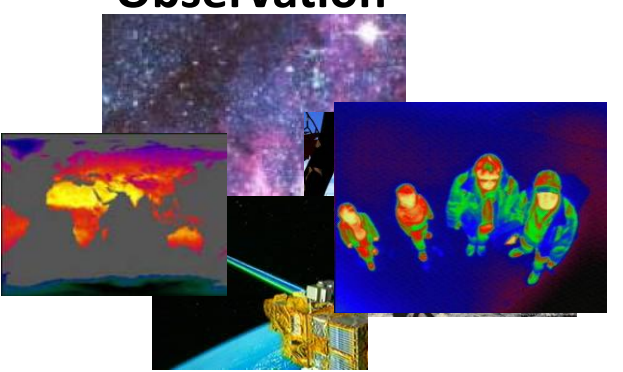
Sources lasers
Fibres optiques
Circuits intelligents
Photo détecteur

Indust Instrumentation

Télécoms



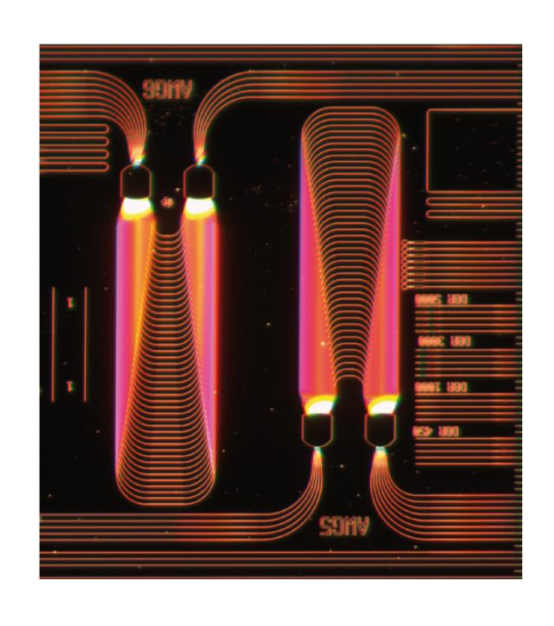
Observation

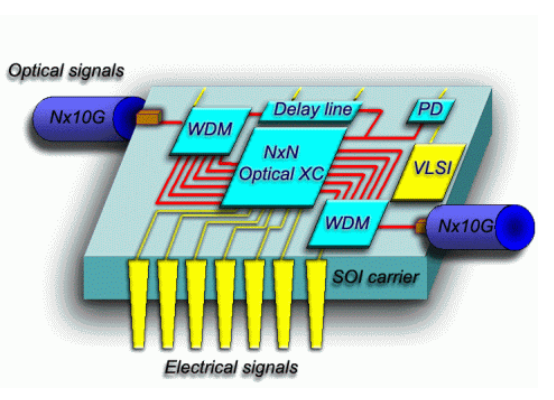


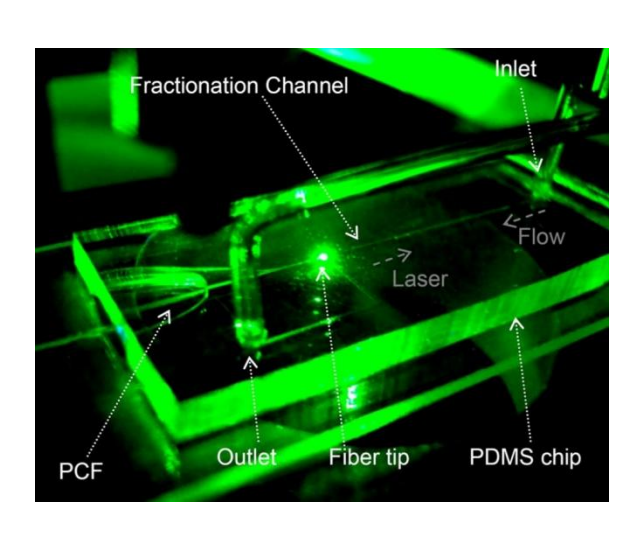
Défense 4

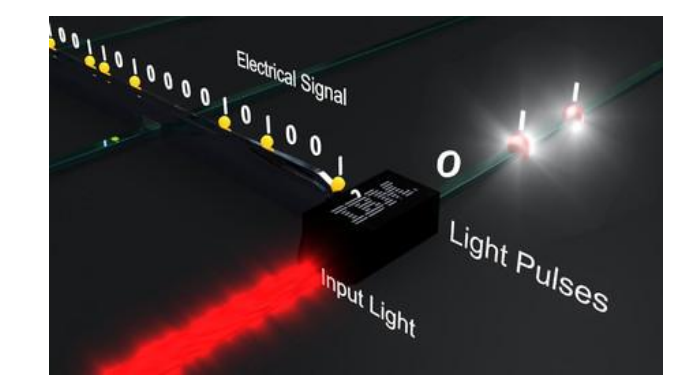
Présentation des puces optiques



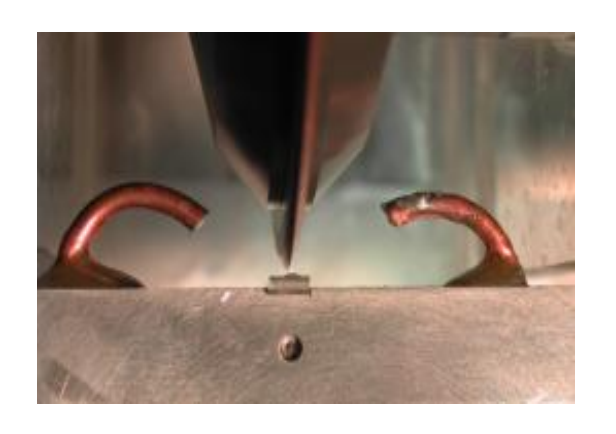


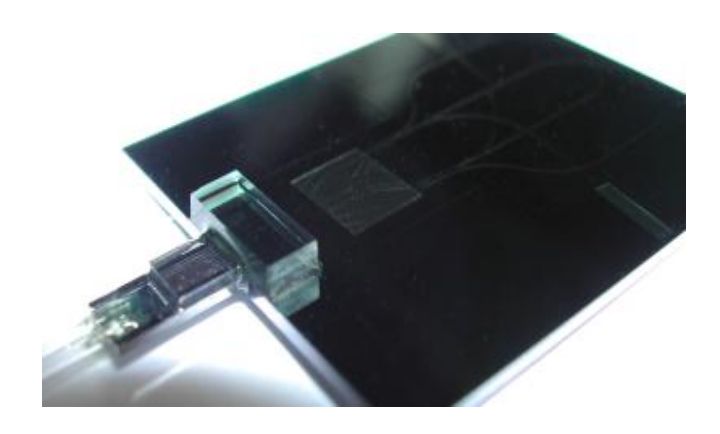






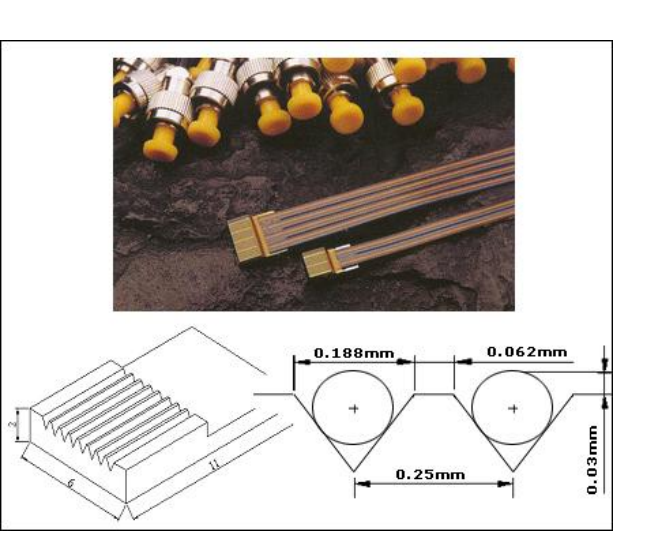
Mise en boîtier de la puce

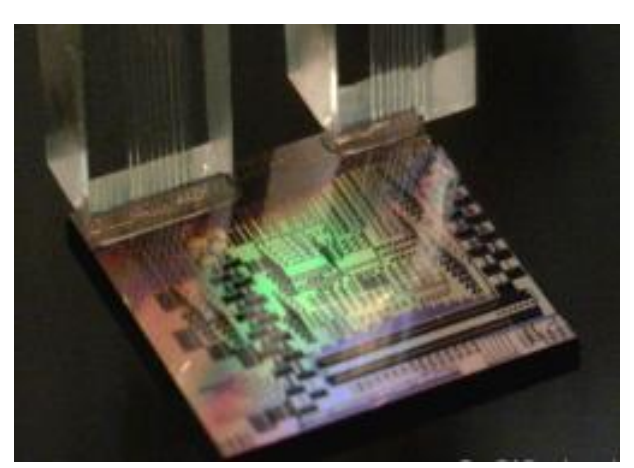










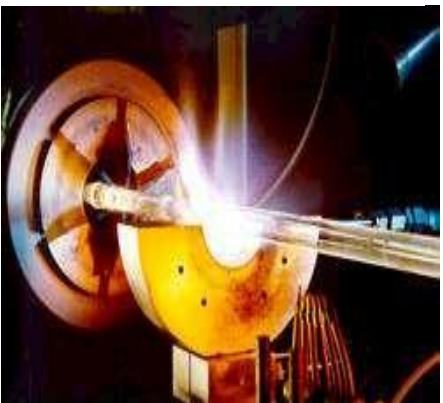




Fabrication d'une fibre optique en verre



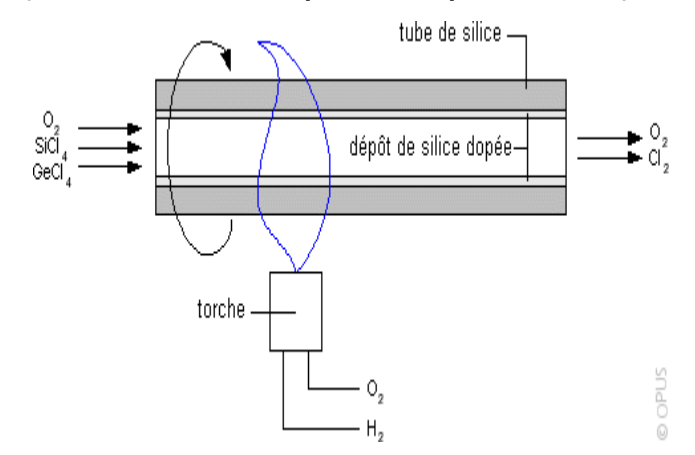


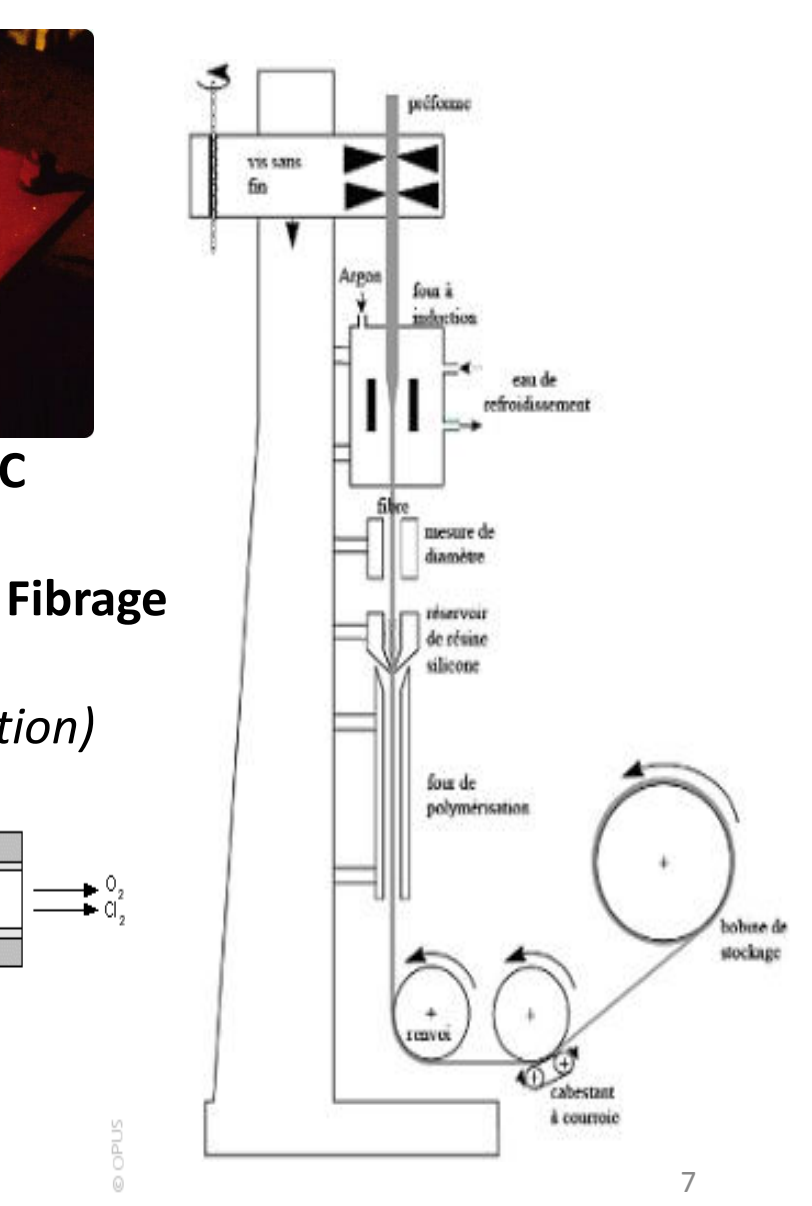




Fusion du sable à 1500°C

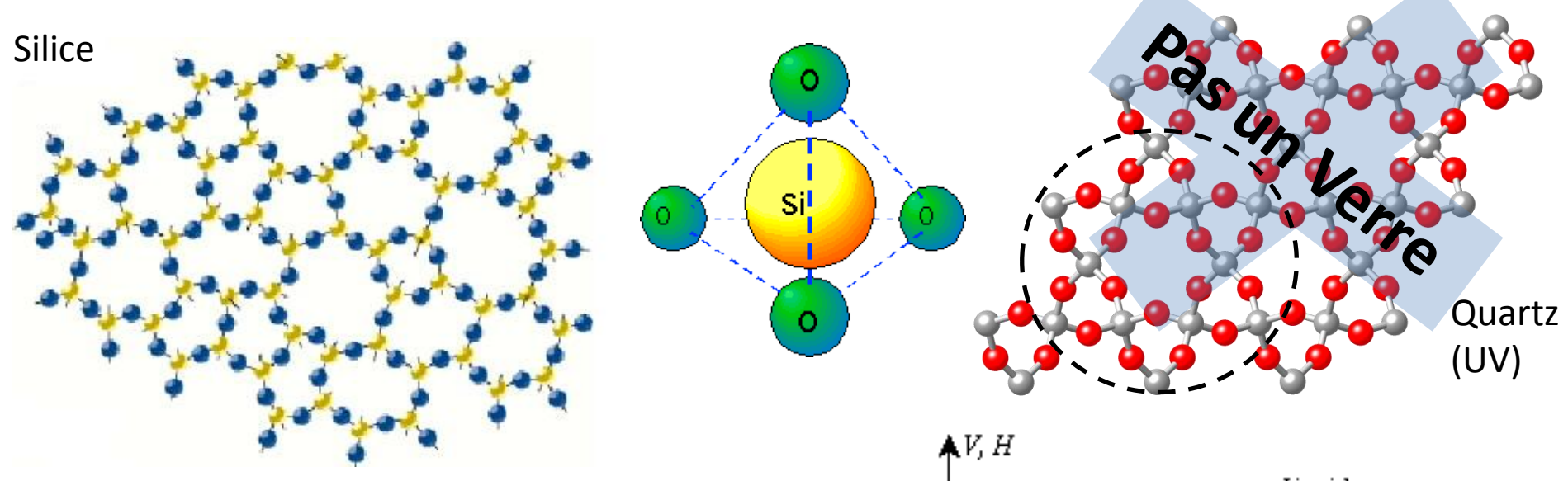
Préformation(Chemical Vapor Deposition)





Verres

Un verre est un **solide non-cristallin** présentant le phénomène de **transition vitreuse**.



Verres d'oxyde: Visible, proche IR (< 2μm)

SiO2, GeO2, TiO2, ... Indice ≥ 1.45 (sauf Verres poreux)

Chalcogénures: Moyen IR (1-2 μ m \rightarrow 20 μ m)

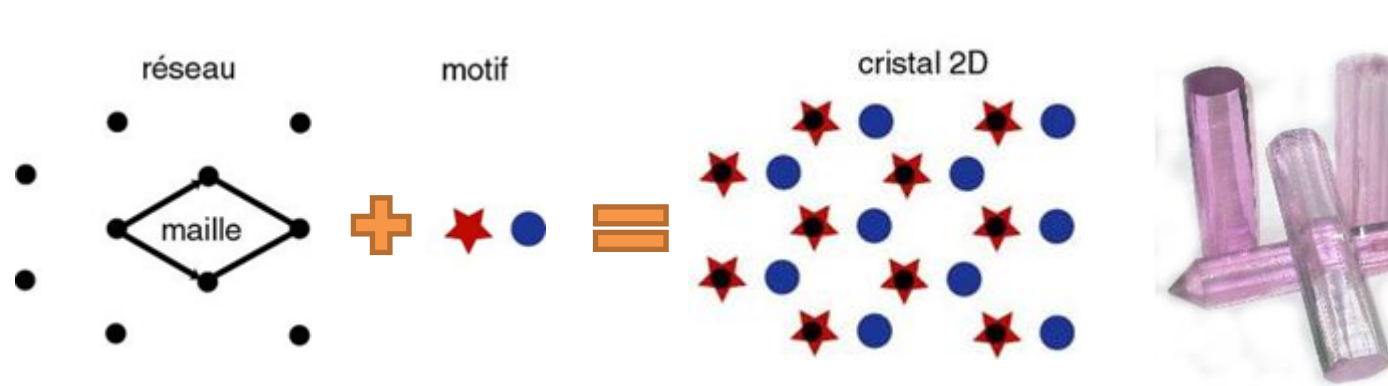
Indice # 2 - 3 Se, Te, S, ...

+ Cd, Ga, As, Ge, ...

Liquide (stable) Liquide surfondu, (métastah Verre (hors éani.lihre) Vitrification **Fusion** (Fistal:(stable) $T_{\mathfrak{o}}$ $T_{\mathcal{F}}$

Le verre est un solide qui présente le désordre d'un liquide.

Cristaux



YAG

 $Y_3AI_5O_{12}$

Ytterbium Aluminium Grenat Dopé Néodyme: Nd:YAG (inversion population) Laser @ 1064µm

KTP

Phosphate de Potassium titanyl Doublage YAG



Niobate de Lithium

 $\overrightarrow{P} = f(\overrightarrow{E})$ LiNbO₃ ElectroOptic, AcoustoOptic

Calcite

 ${\sf CaCO}_3$ Birefrigent

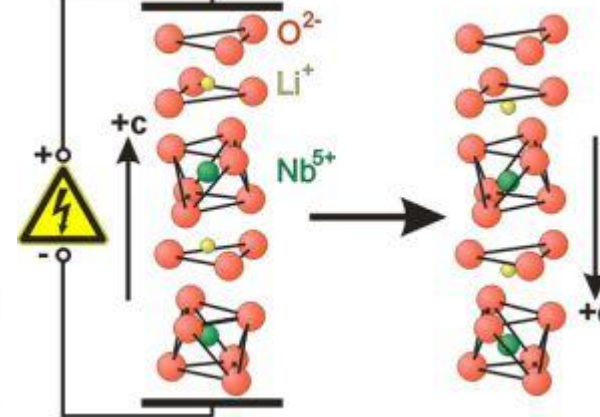


Semi-conductors

Si, GaAs, Ge, Csi, ...







Polymères

Propriétés ajustables:

Imperméable, poreux, résistance au feu, corrosion, anti-adhésion, transparence, ...

Applications variées:

Emballages, isolants, conteneurs, joints, revêtement, optique, médical, textile, ...





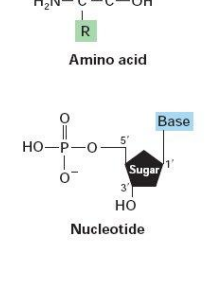


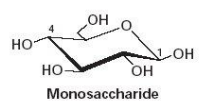
POLYMERS
H H O H H O H H O









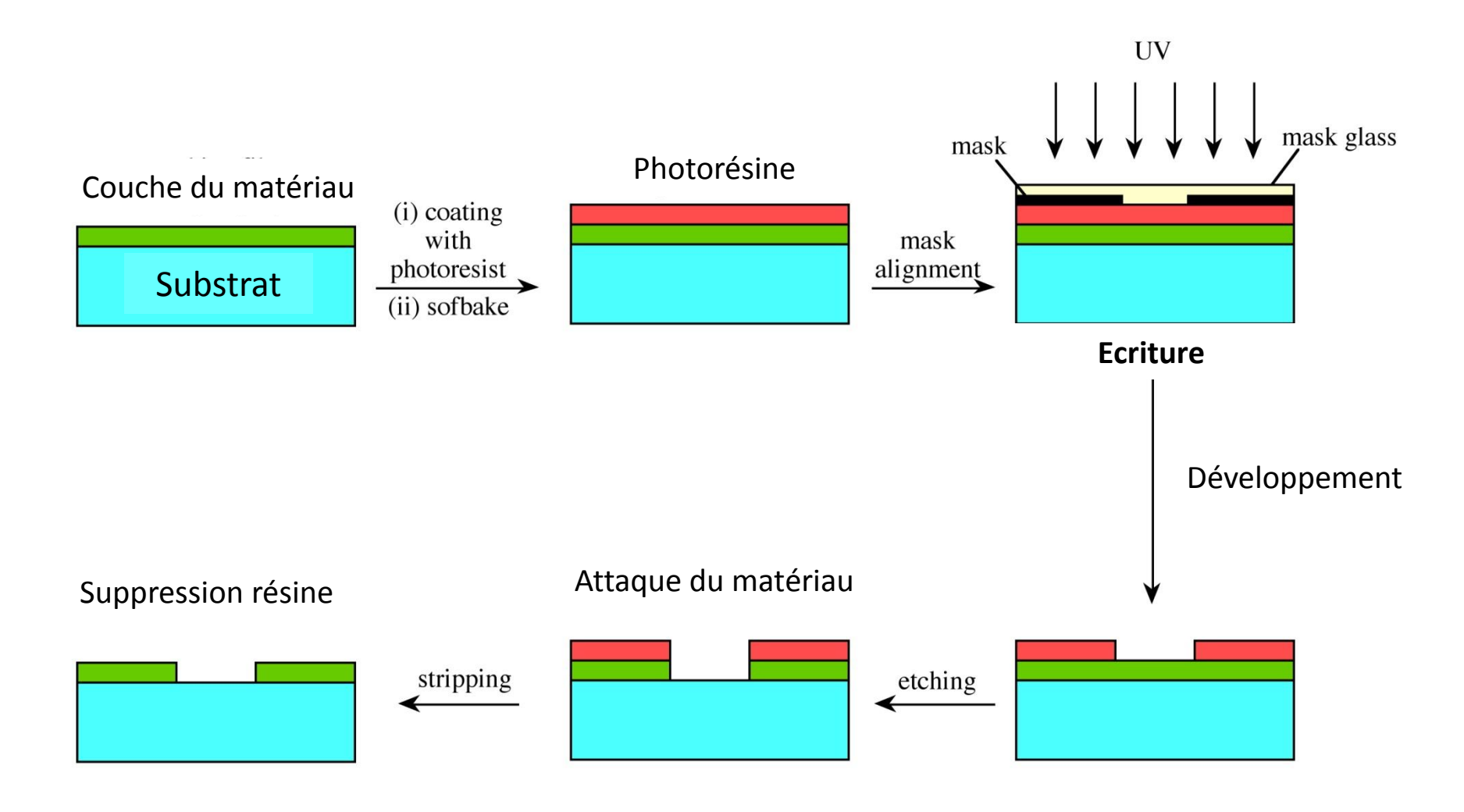


H—N—C—C—N—C—C—N R ₁ R ₂ Polypept	R ₃ R ₄	H ₂ O
HO—P—O—5: 3 0—P—O—Nucleic a	B ₂ 0 3 0 P 0 5	HO—P—O—5" OH
OH		HO 4 OH O

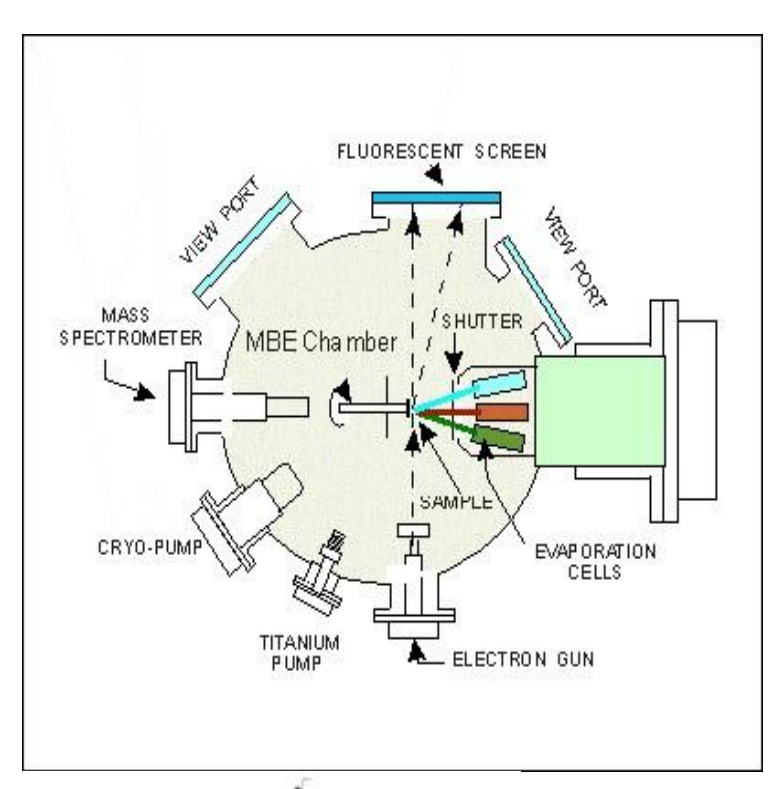
HO OH OH OH OH	HO OH OH
Polysaccharide	H ₂ O

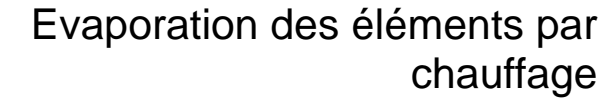
Sigle	Structure moléculaire	Désignation courante
PE	↓ → 'n	polyéthylène
PP	1 tn	polypropène
PVC	√ t _n	poly(chlorure de ∨inyle)
PS	¥=	polystyrène
PET	~~~~~~~~~~~~~~~~~~~~~~~~~~~~~~~~~~~~~~	poly(téréphtalate d'éthylène)
PA-6	√ _N	polycaprolactame

Fabrication de la puce



Croissance d'un cristal

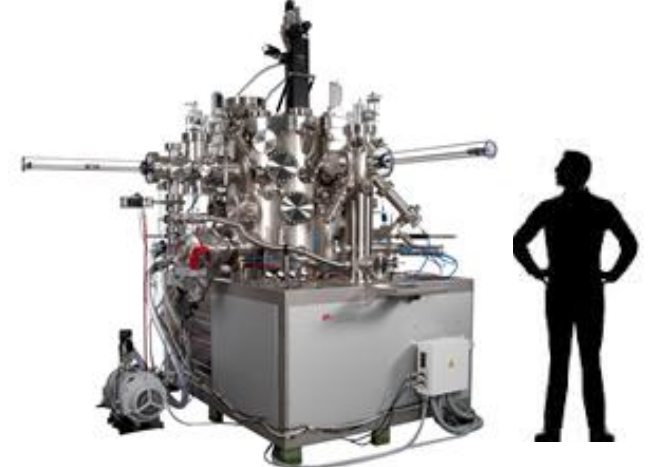




Vide poussé (10⁻⁸ Pa) évite les perturbations et les impuretés

Dépôt lent (1µm / h) de couches monoatomiques

Pompage cryogénique refroidi le substrat et absorbe les impuretés

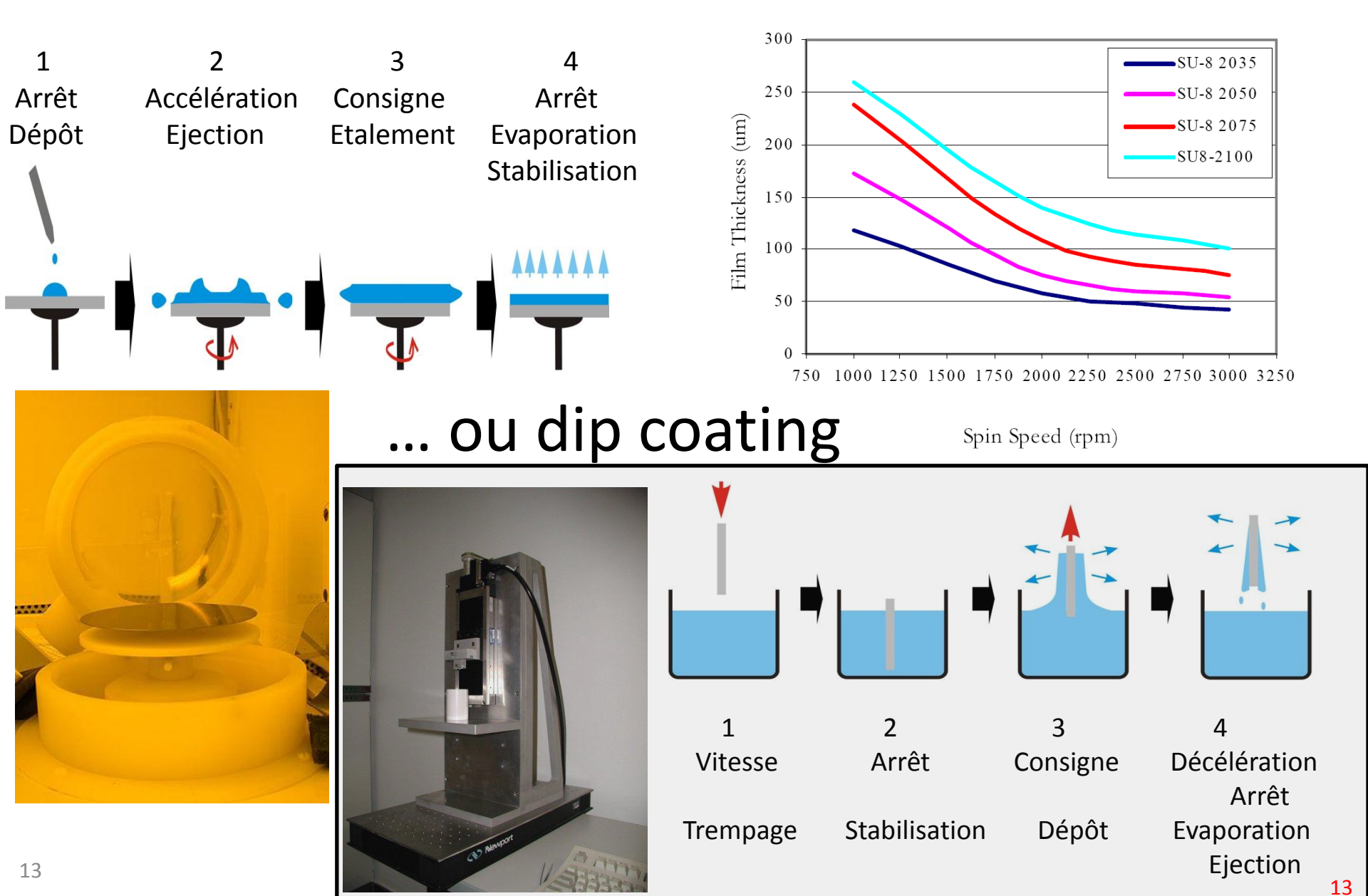


Température du substrat contrôle les réactions

Suivi cristallin par diffraction électronique

Analyse de la composition par spectrométrie de masse

Dépôt de résine polymère par spin coating

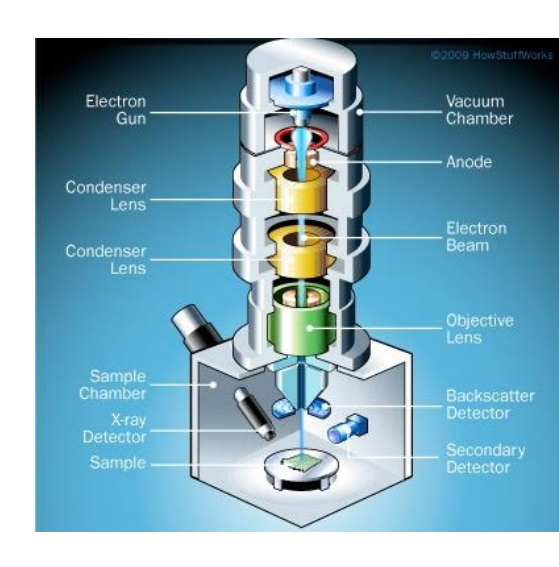


Dessin des circuits



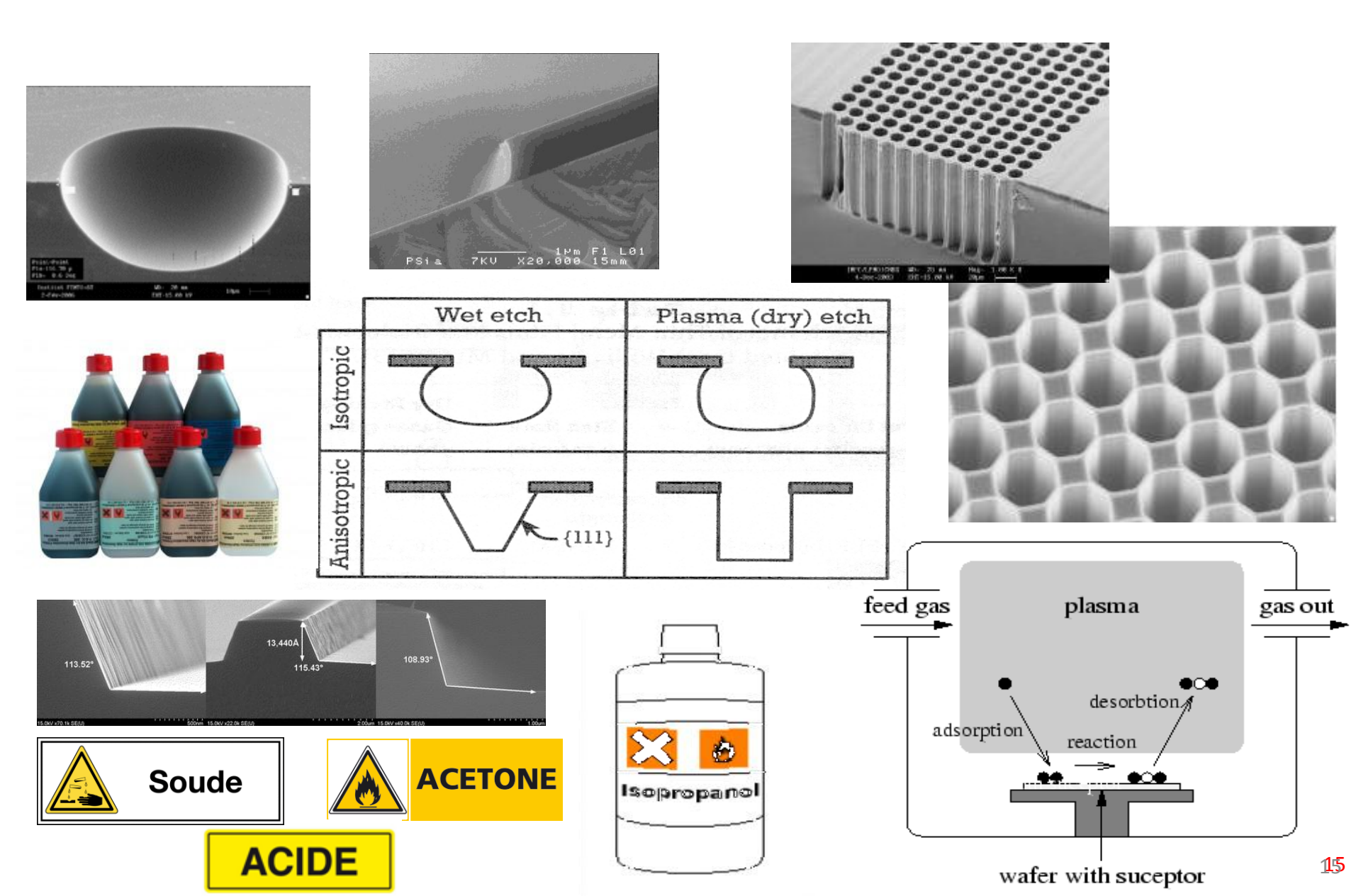








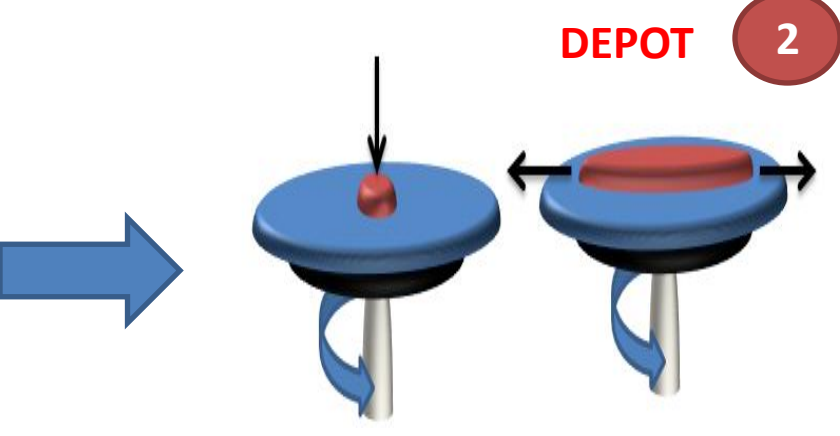
Révélation des images



Fabrication de circuits en polymère

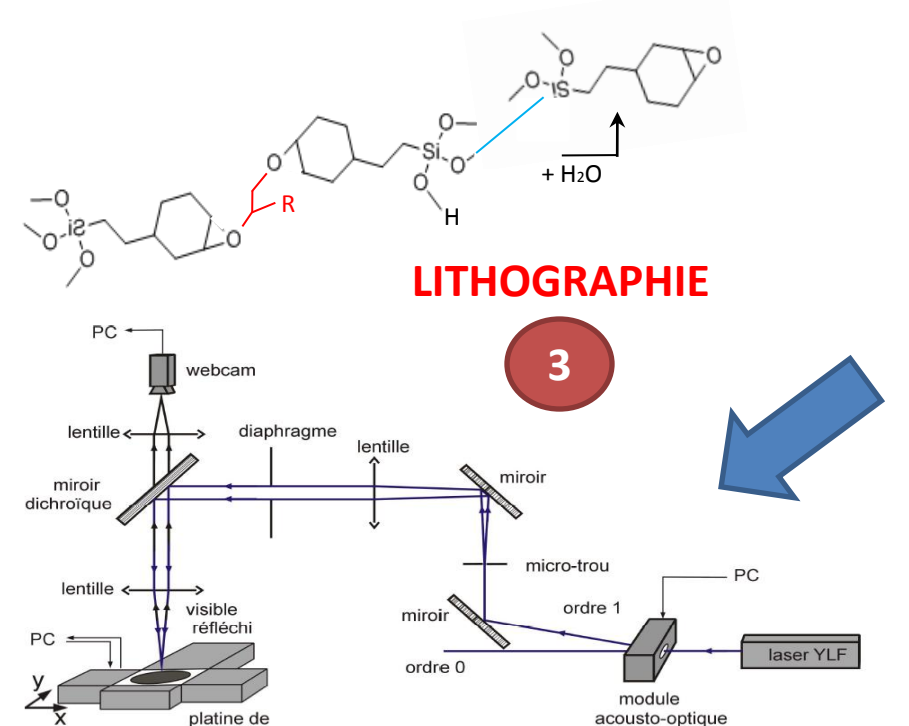








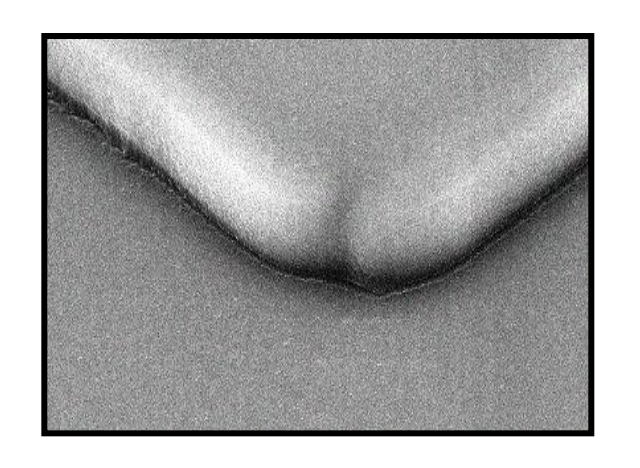


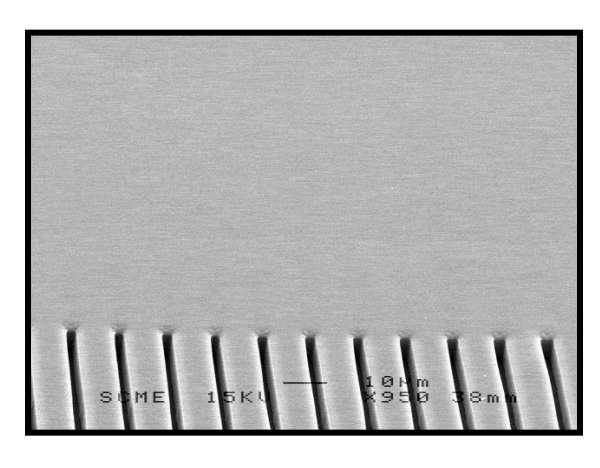


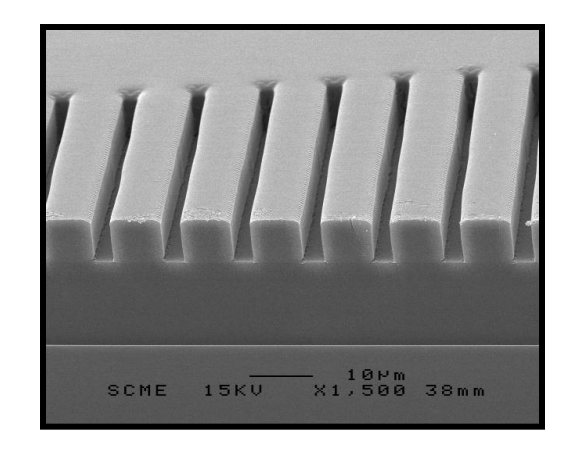
micro-déplacements

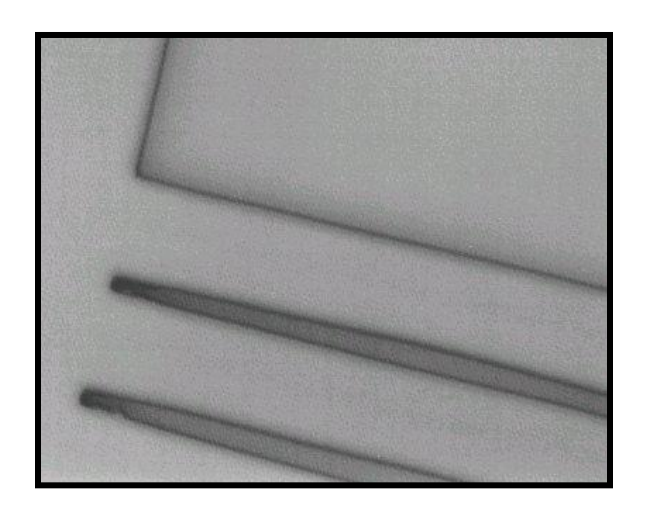


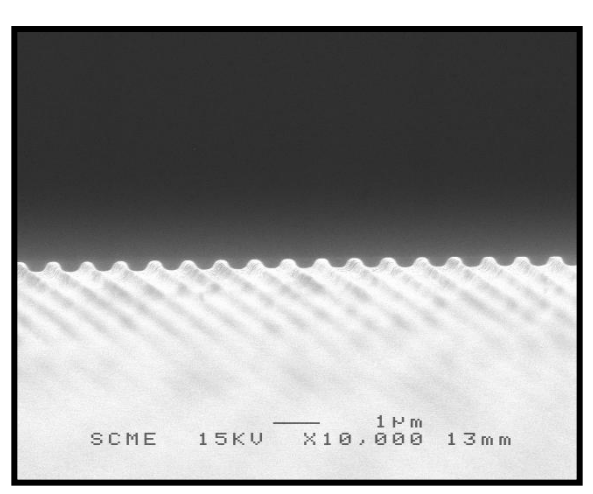
Résultats

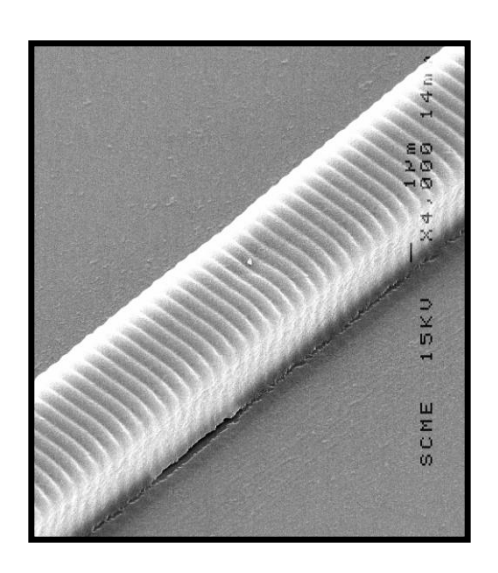




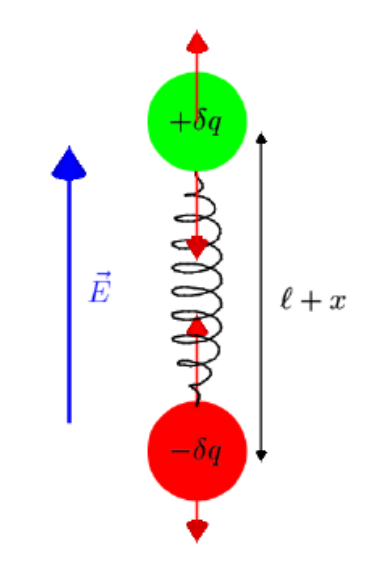


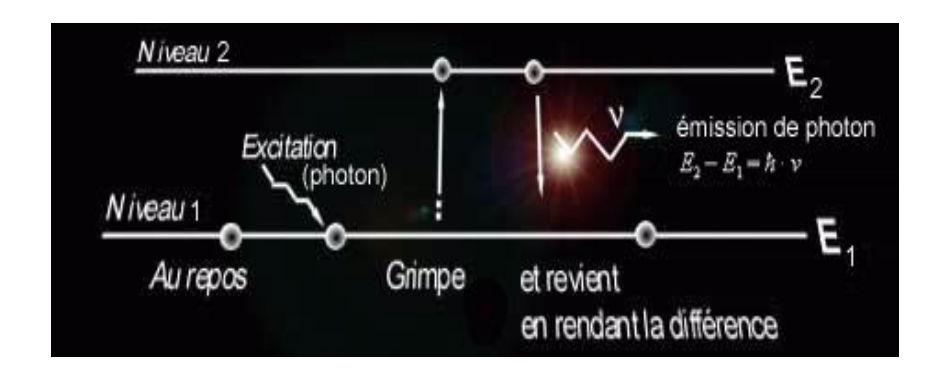


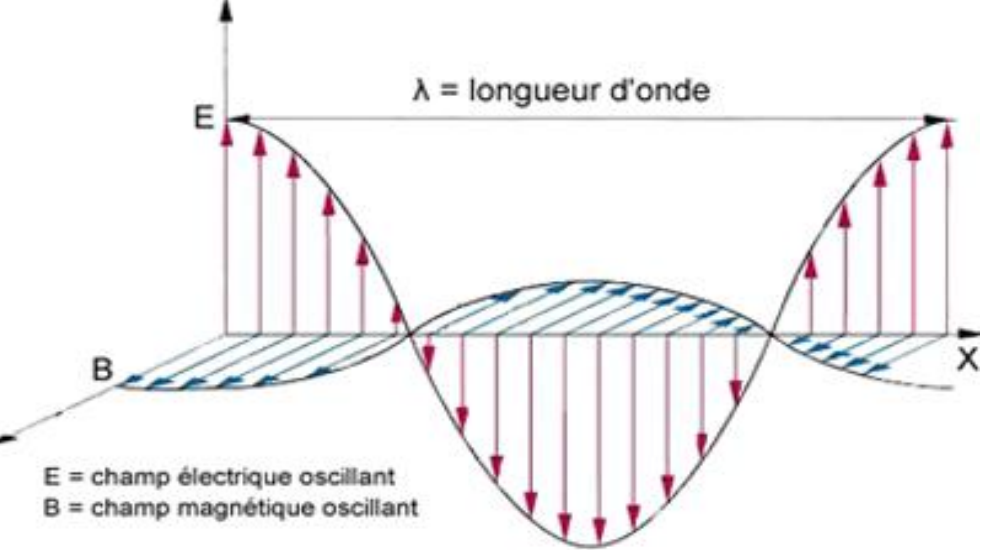


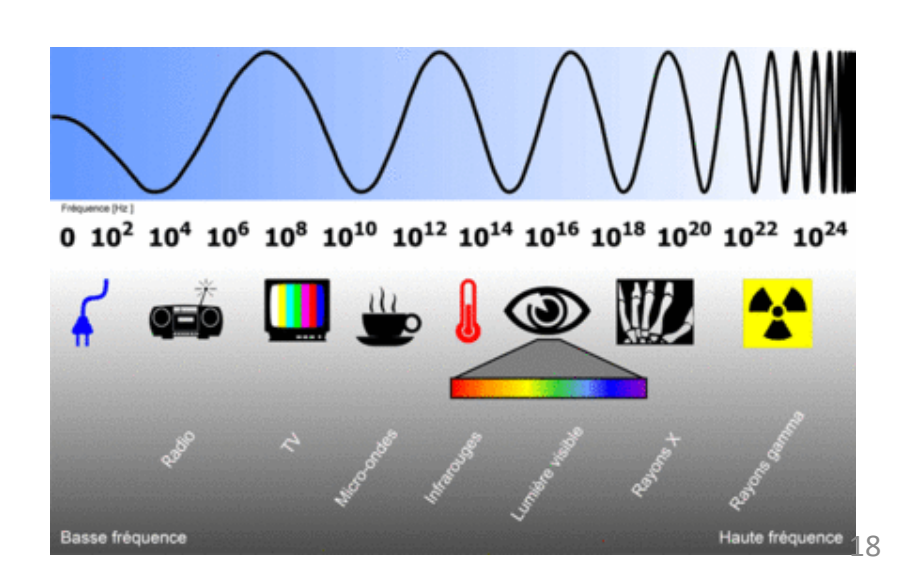


L'onde électromagnétique

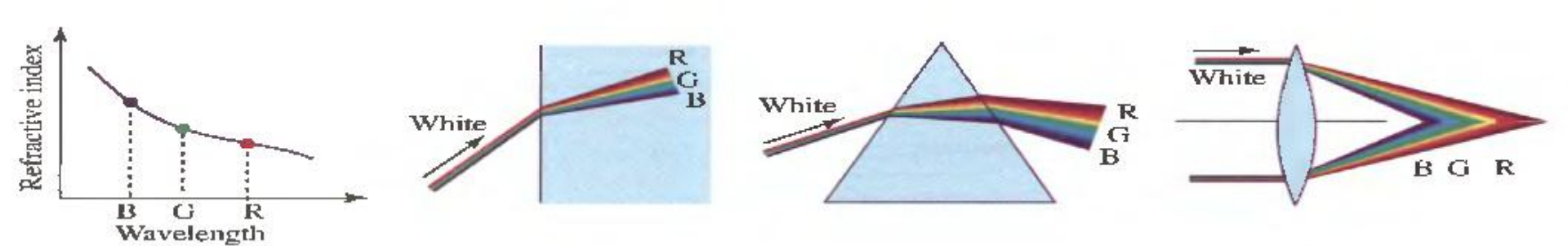




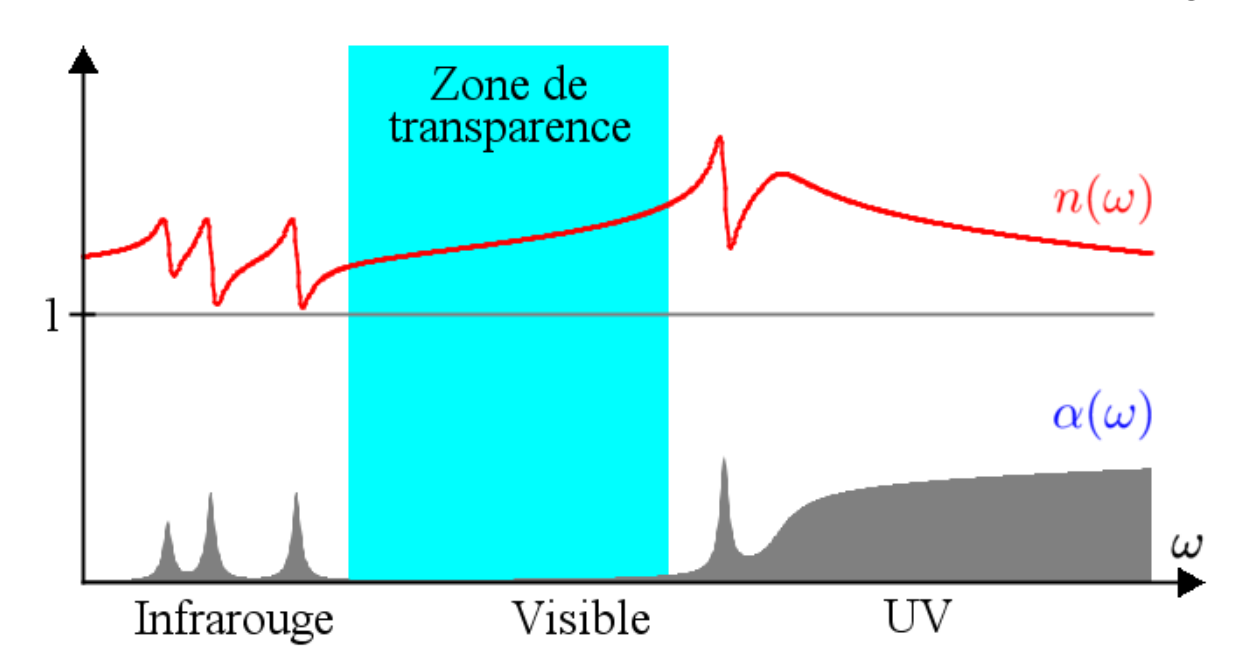




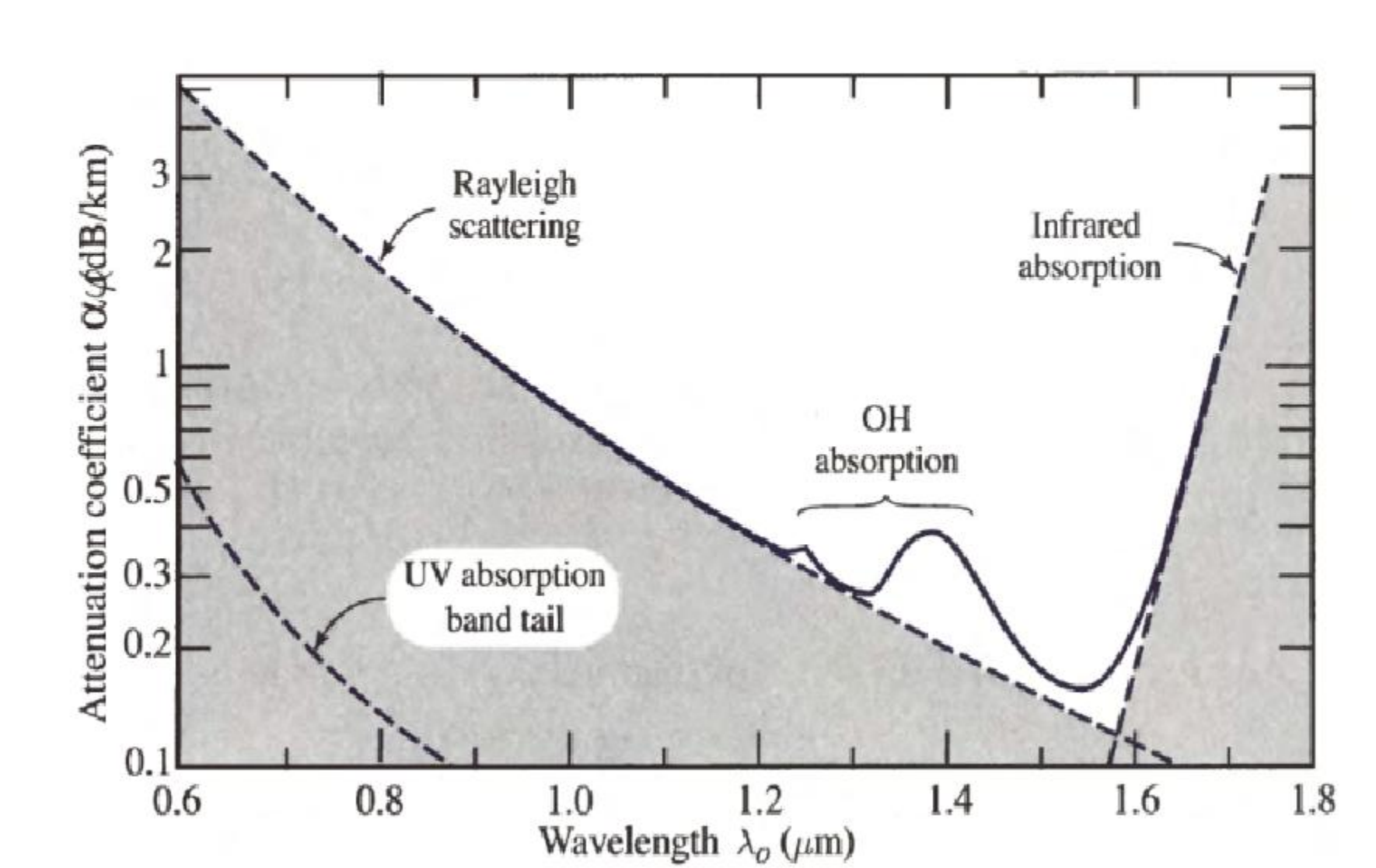
Indice de réfraction et transmission



Vitesse de déplacement dans la matière: $\mathbf{v} = \mathbf{c} / \mathbf{n}$ Indice du matériau: $\mathbf{n} + \mathbf{j}.\mathbf{k}$

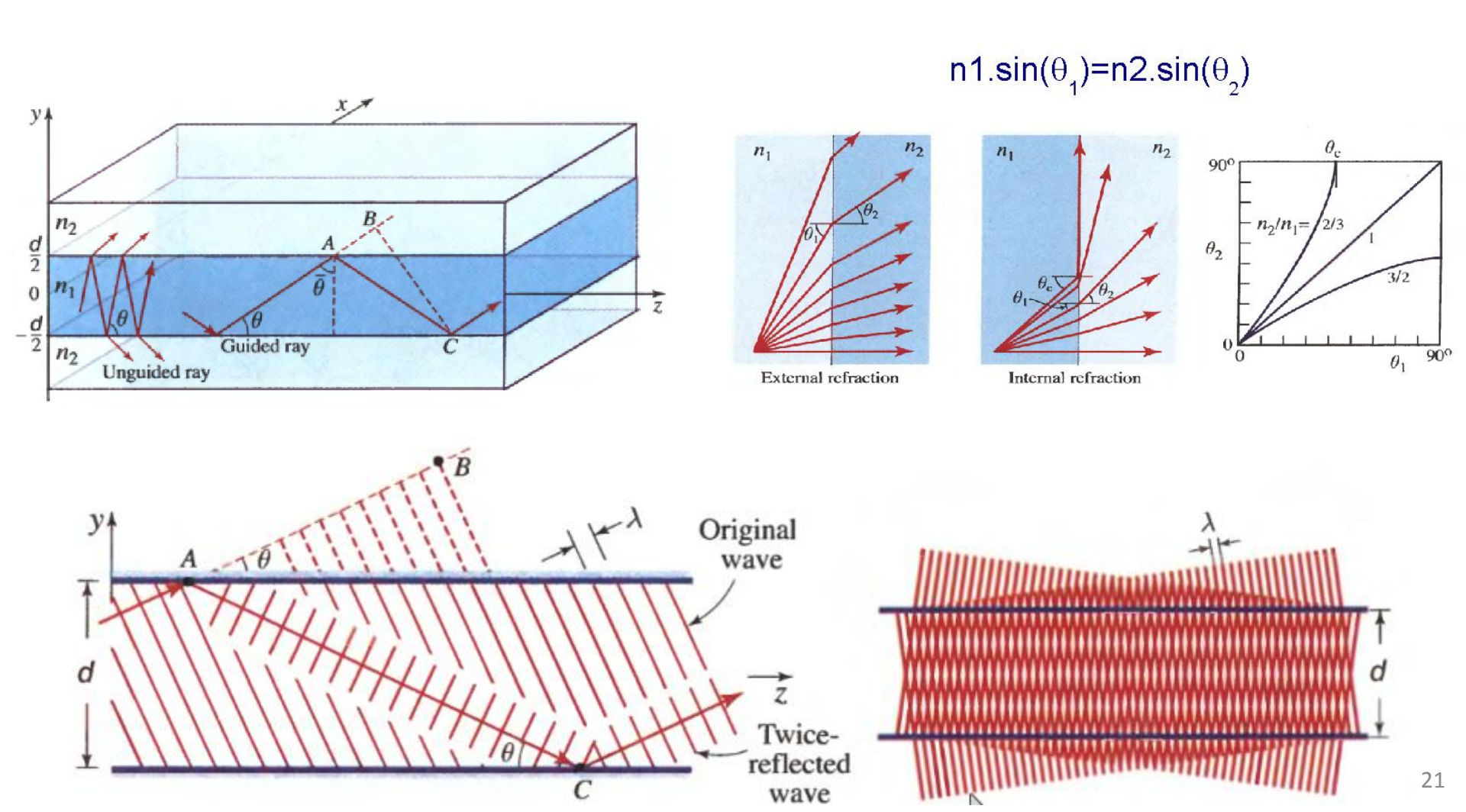


Atténuation dans le verre



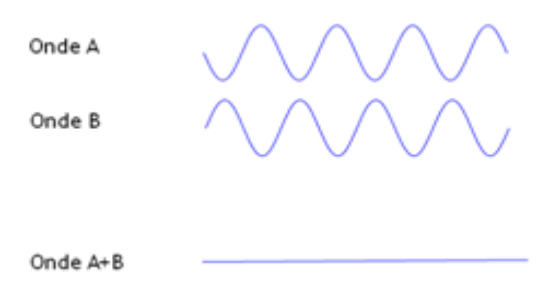
Confinement de la lumière

1/ Réflexion totale interne



Interférences

Interférences destructives

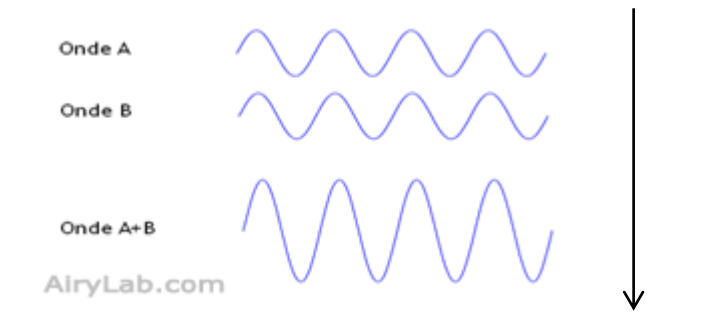


Source A

Source B

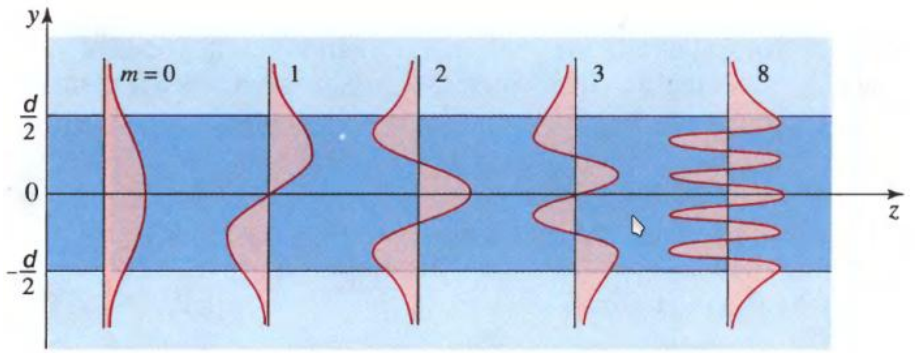


Interférences constructives



2/ Autocohérence

Modes guidés: Chemins possibles de propagation



Propriétés des modes guidés

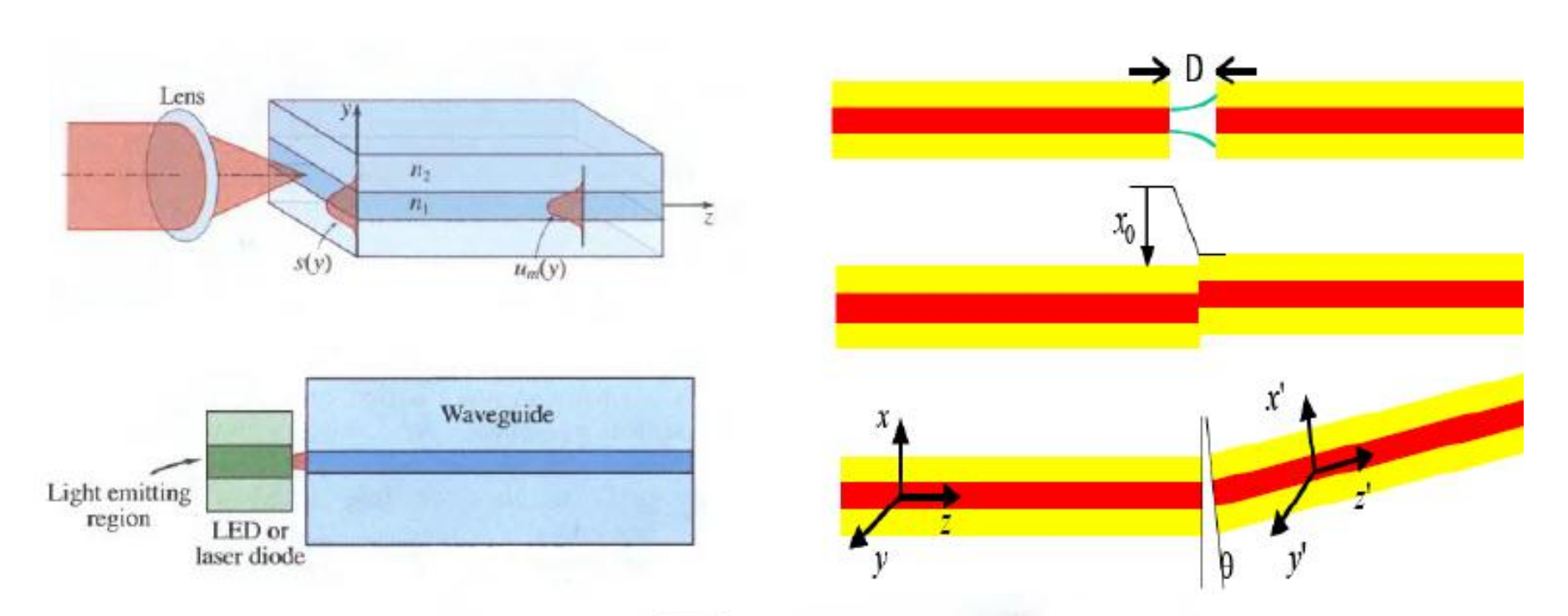
Le confinement et le nombre de modes augmente avec:

- Taille du guide.
- Fréquence de l'onde.
- Différence des indices.

Chemin/mode 0 existe toujours, le plus rapide et le moins étalé dans la gaine.

La lumière se déplace indépendamment sur chaque mode/chemin (pas d'échange d'énergie lumineuse entre les modes).

Couplage vers un mode

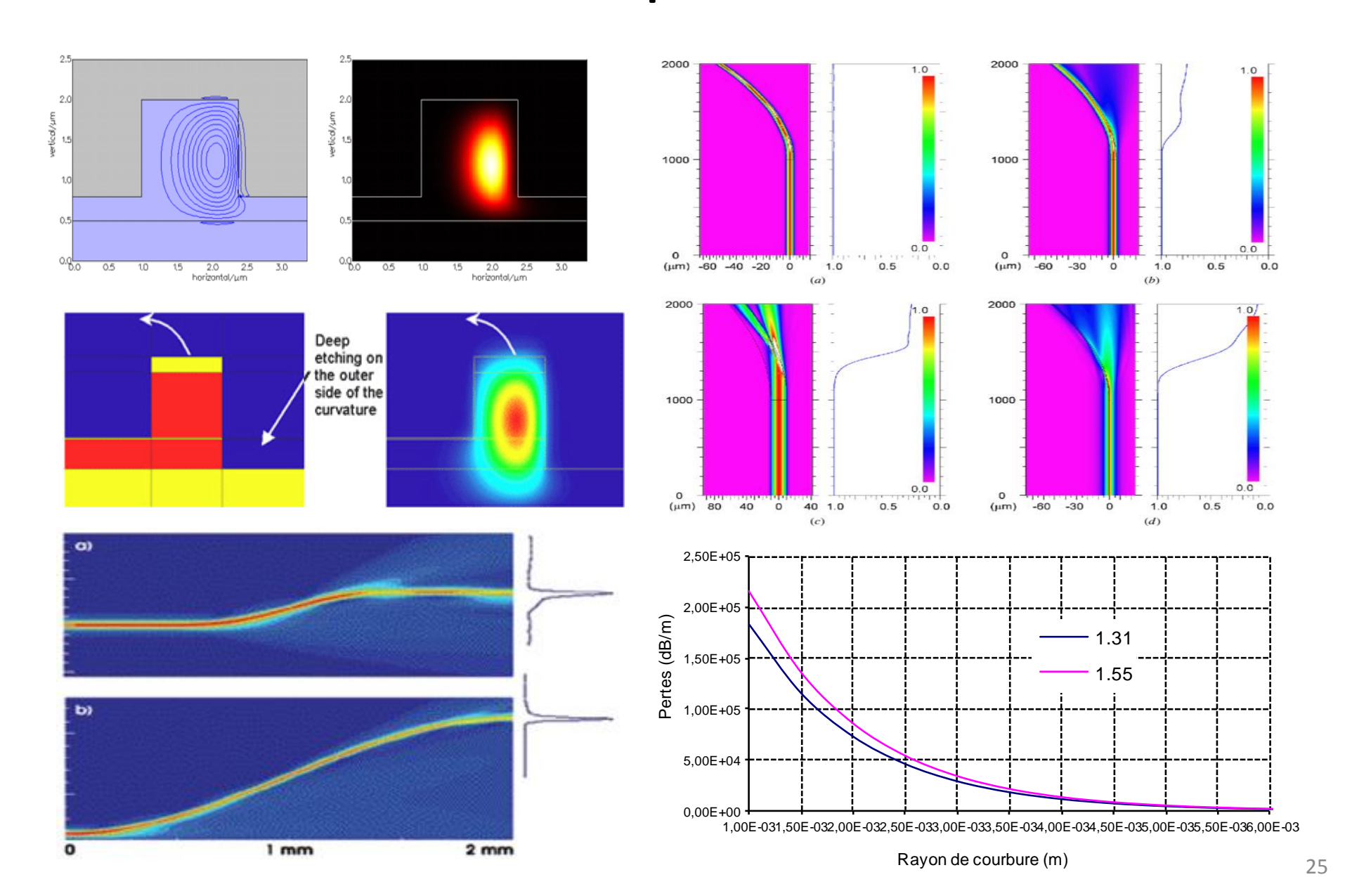


$$E(y,z) = \sum_{m} a_{m} u_{m}(y) \exp(-j\beta_{m} z)$$

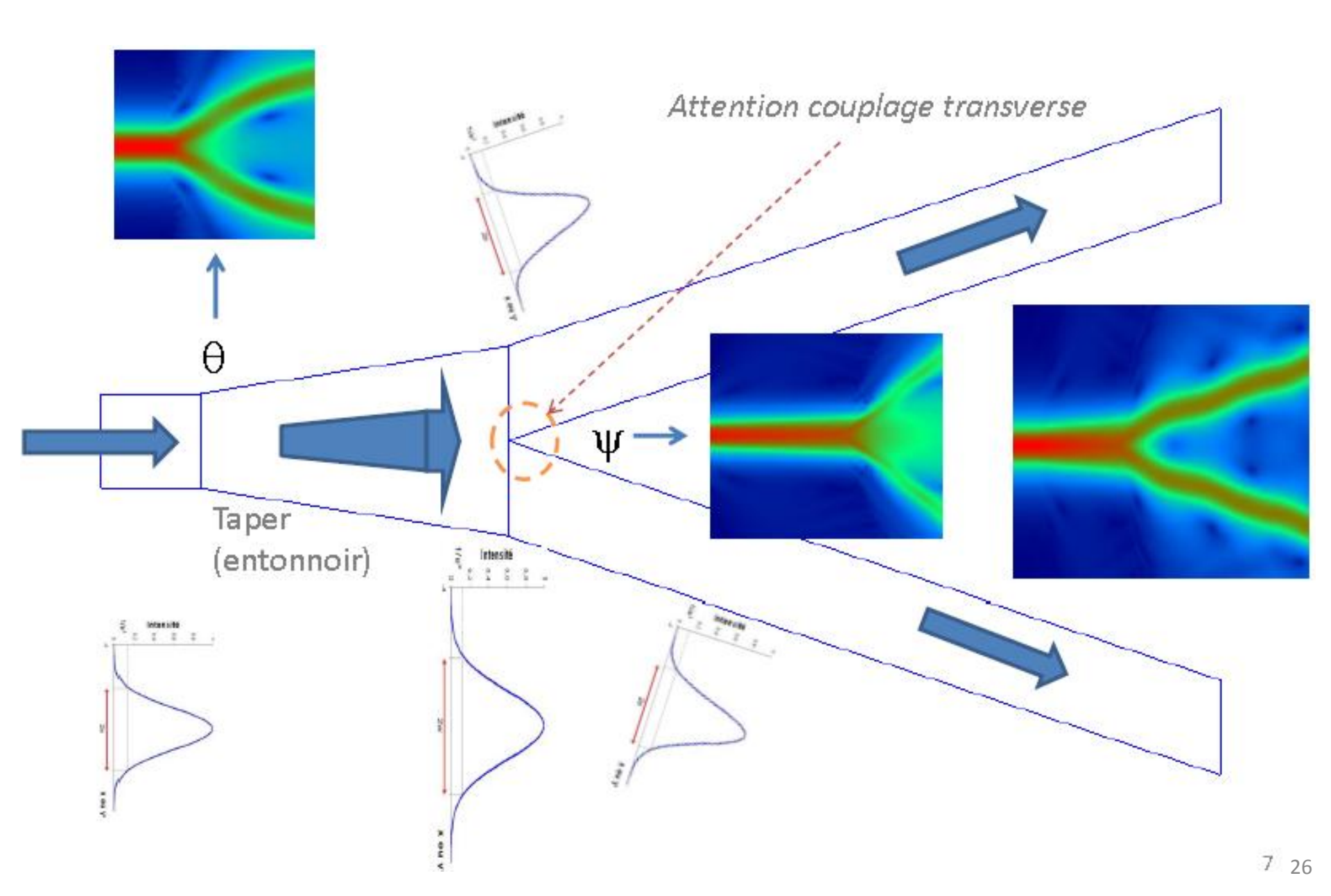
$$s(y) = \sum a_m u_m(y)$$

$$a_l = \int_{-\infty}^{\infty} s(y) \, u_l^*(y) \, dy$$

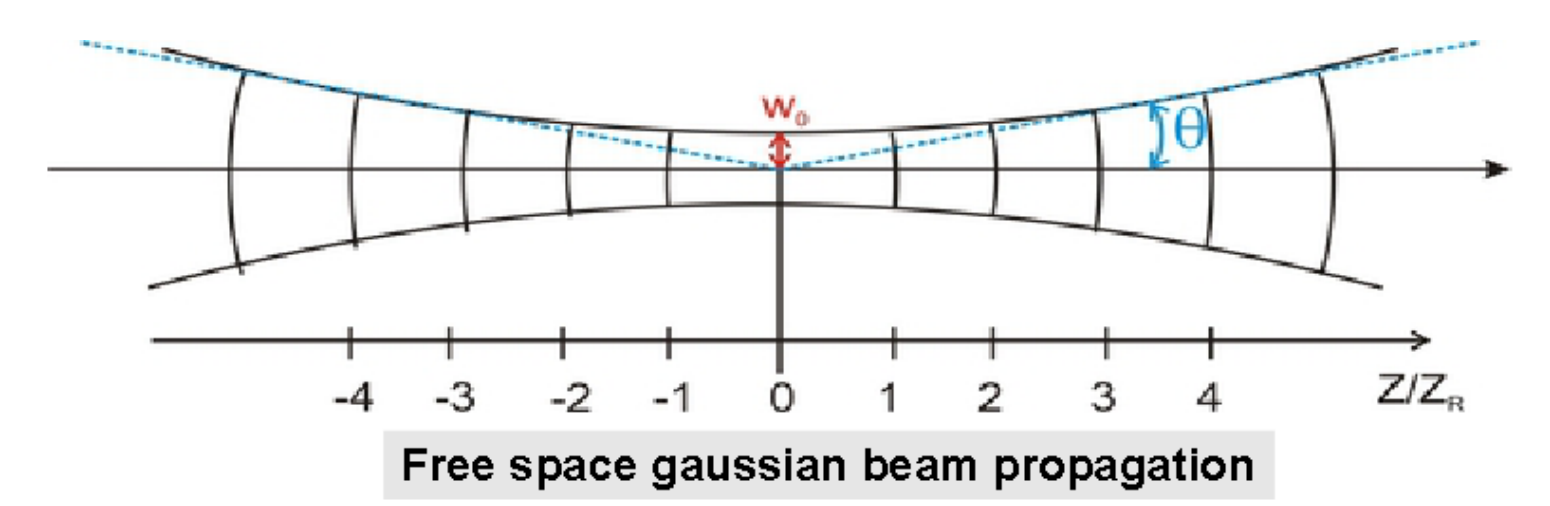
Guide courbes & pertes de courbure

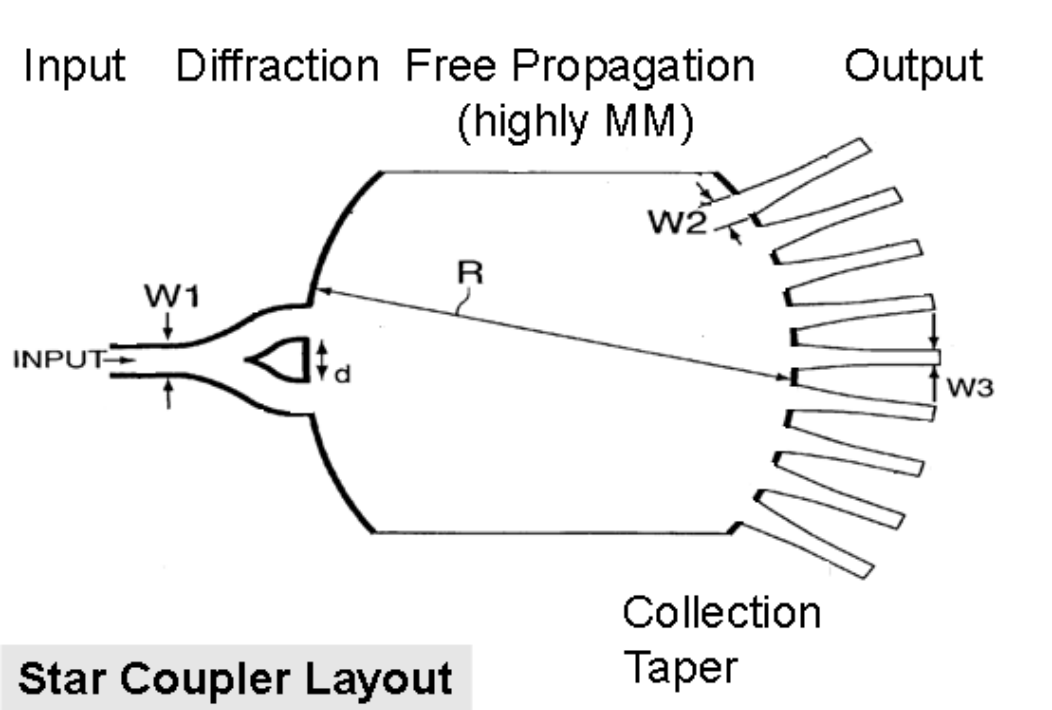


Jonction Y: division

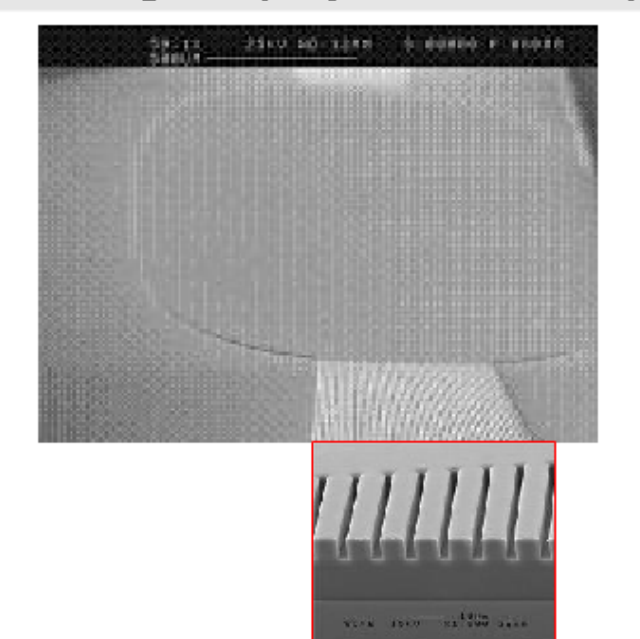


Coupleur en étoile

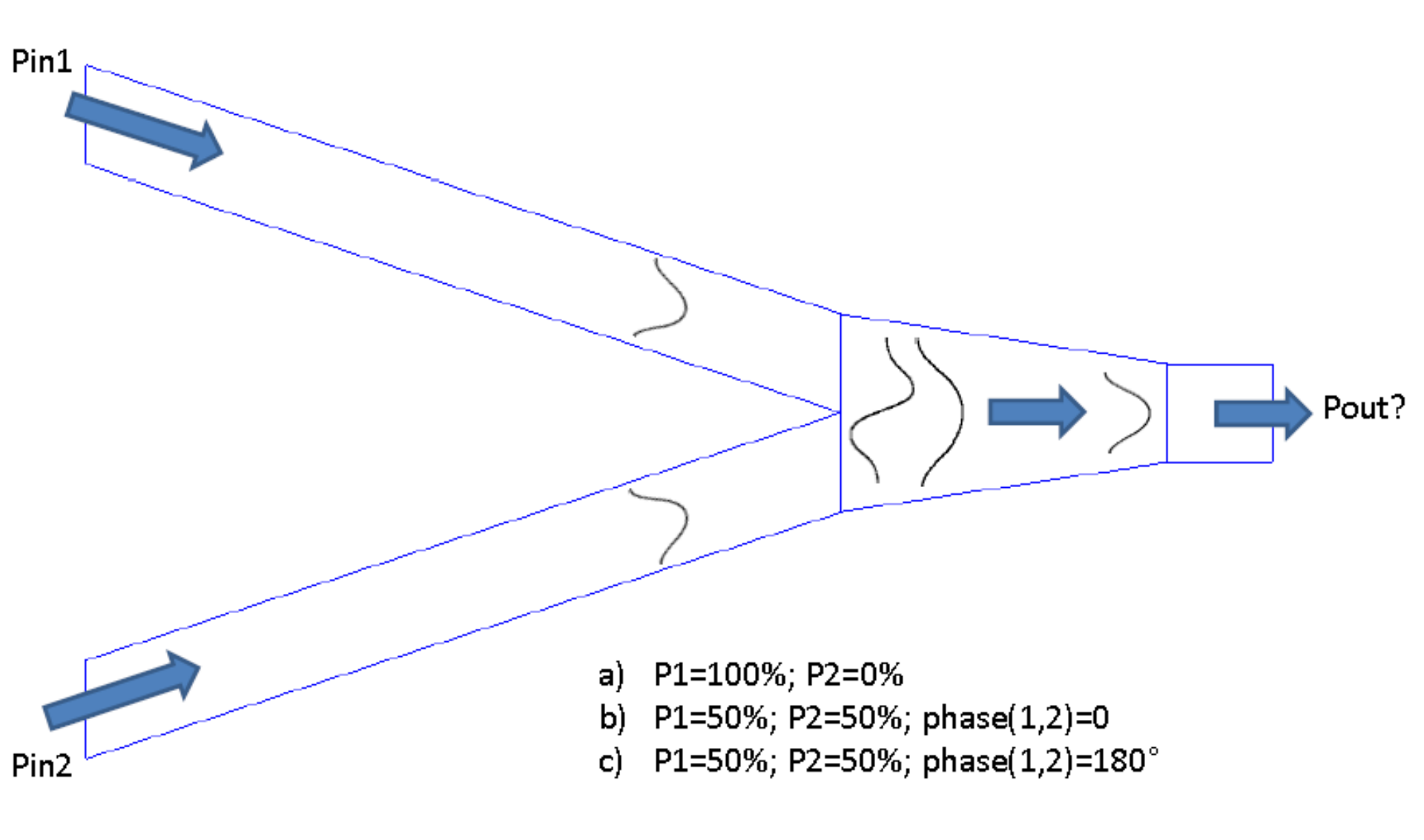




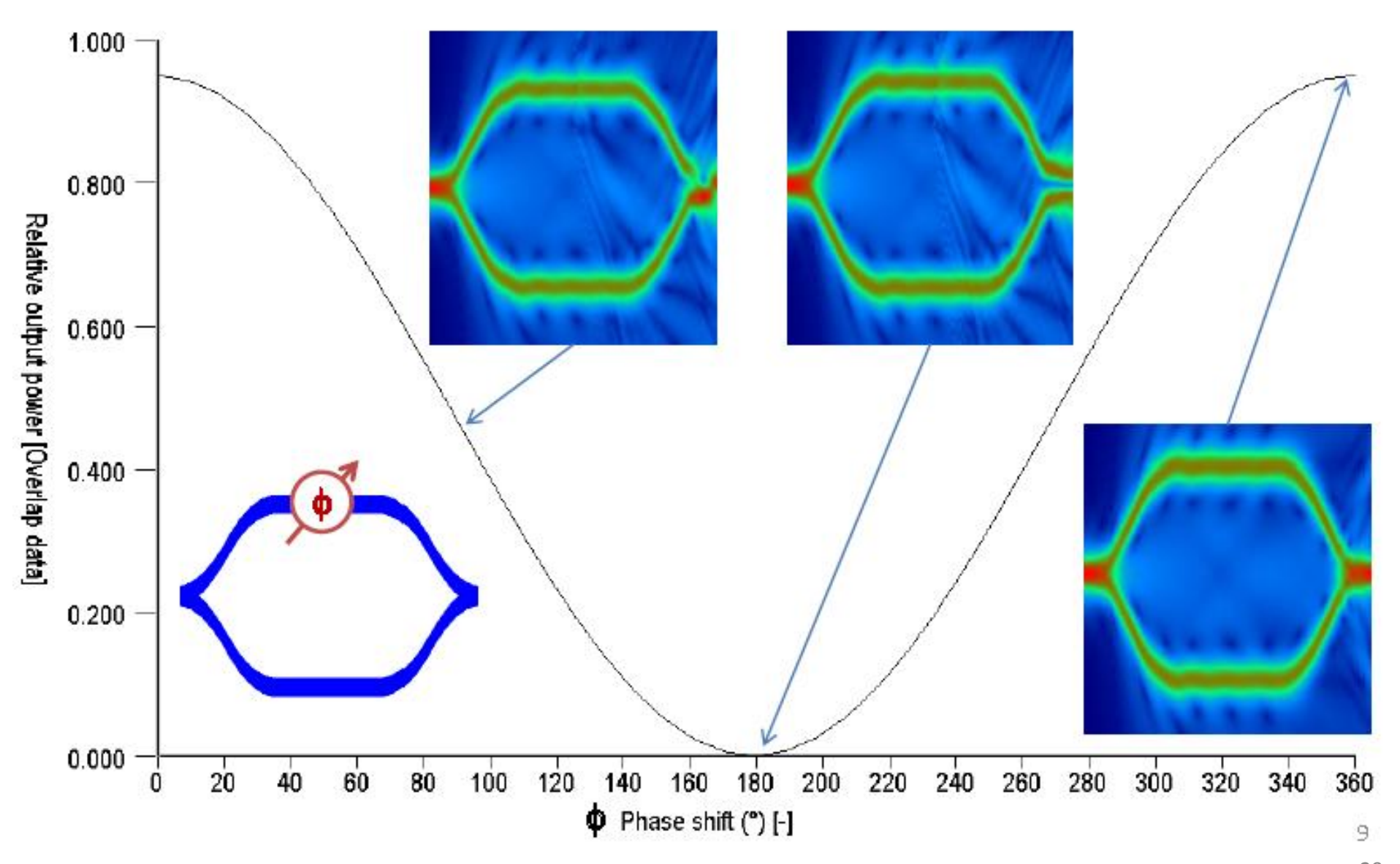
SEM image of polymer star coupler



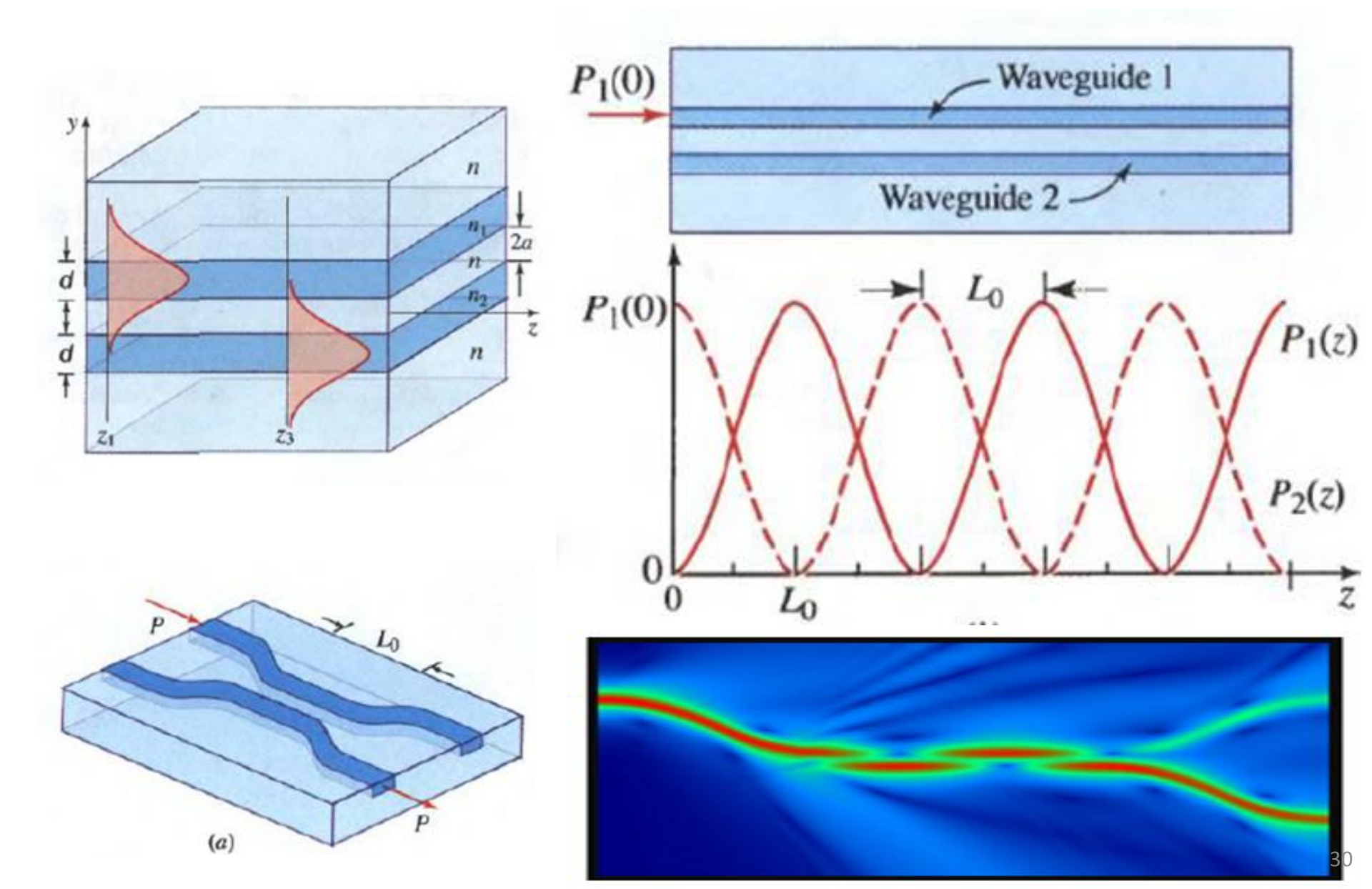
Jonction Y: combinaison



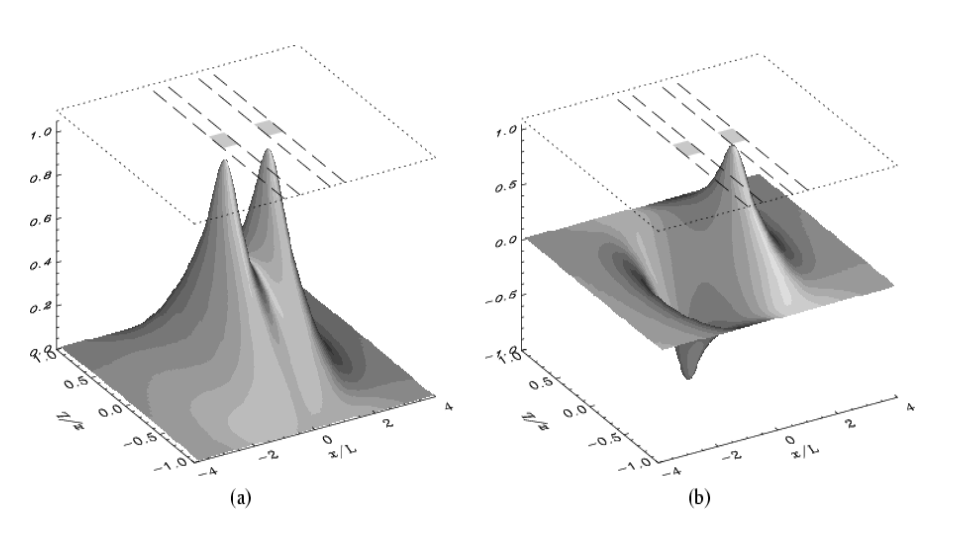
Interféromètre Mach-Zehnder



Couplage par champ évanescent



Interférences modales



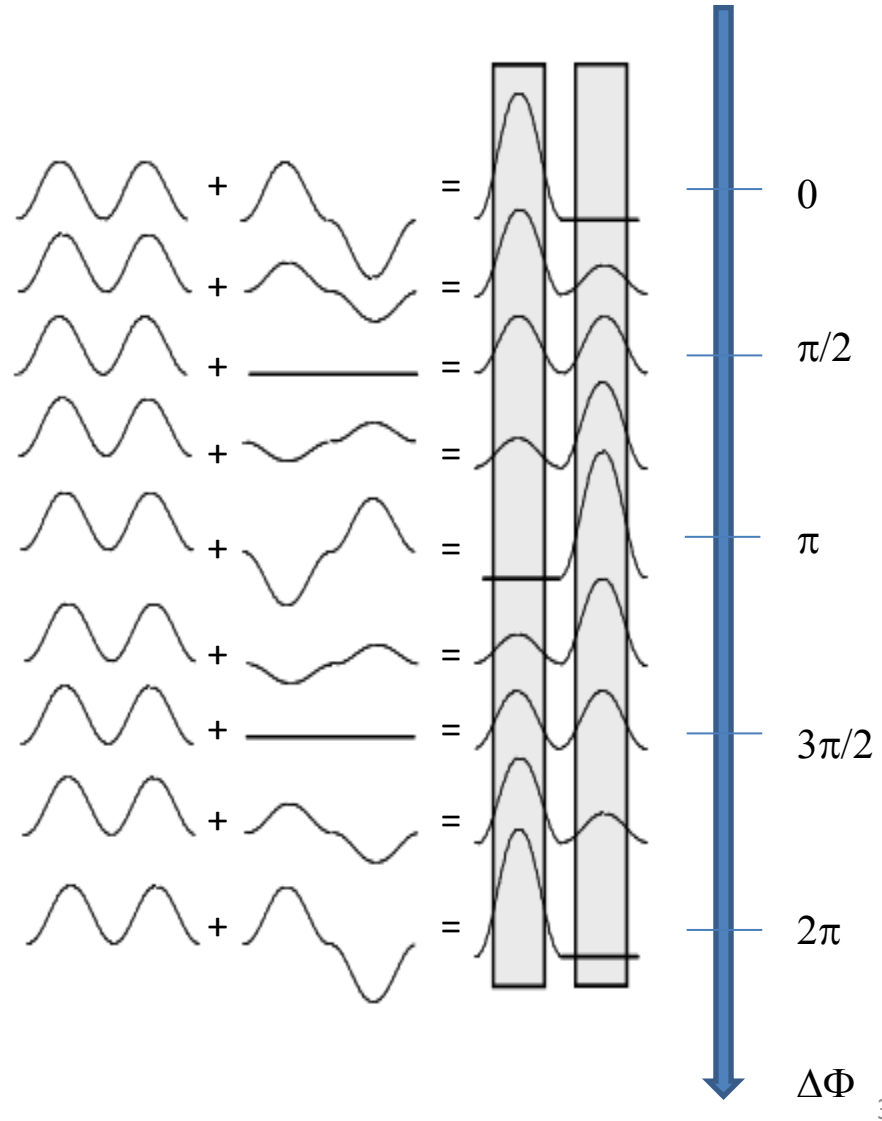
Les deux guides sont considérés comme un seul guide mais à double cœur.

Ce guide est caractérisé par 2 modes: un symétrique et un antisymétrique.

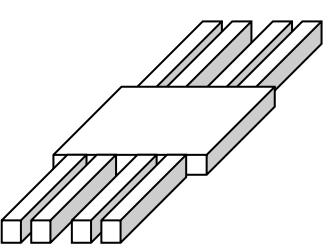
Le mode symétrique est toujours le mieux confiné.

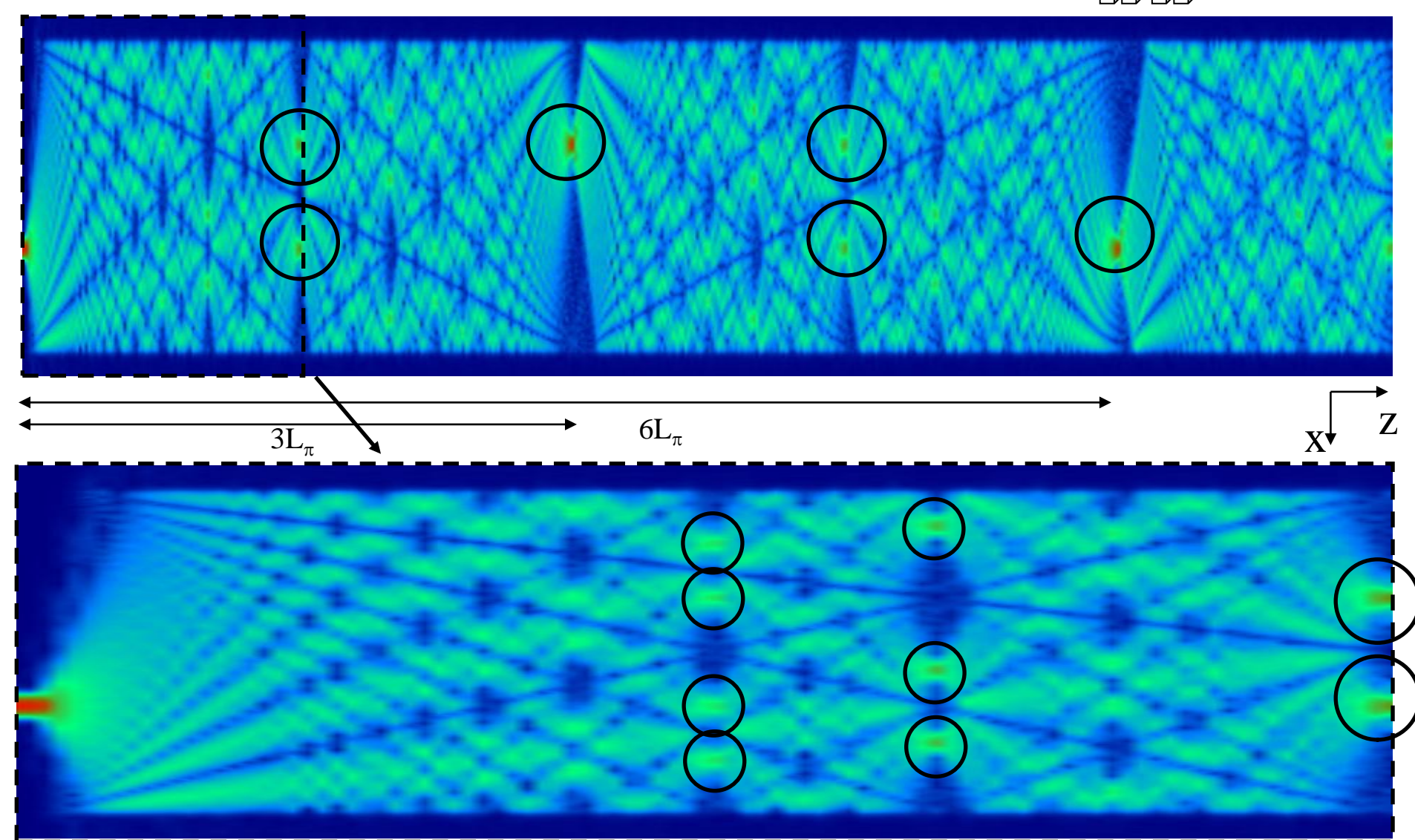
La différence entre les indices effectifs des modes est l à la longueur d'échange d'énergie.

Cet échange d'énergie est périodique.

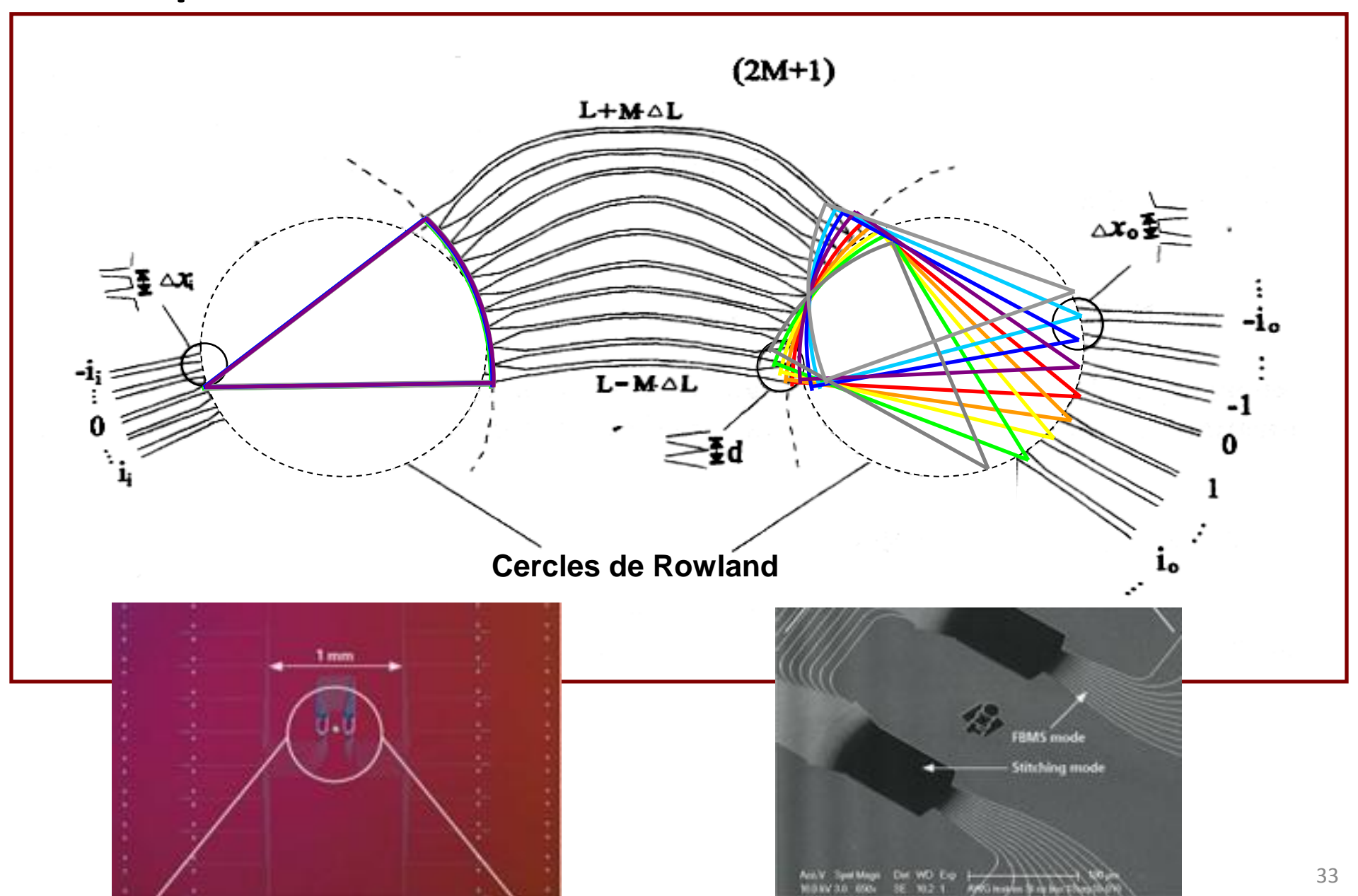


Interféromètre multimode:



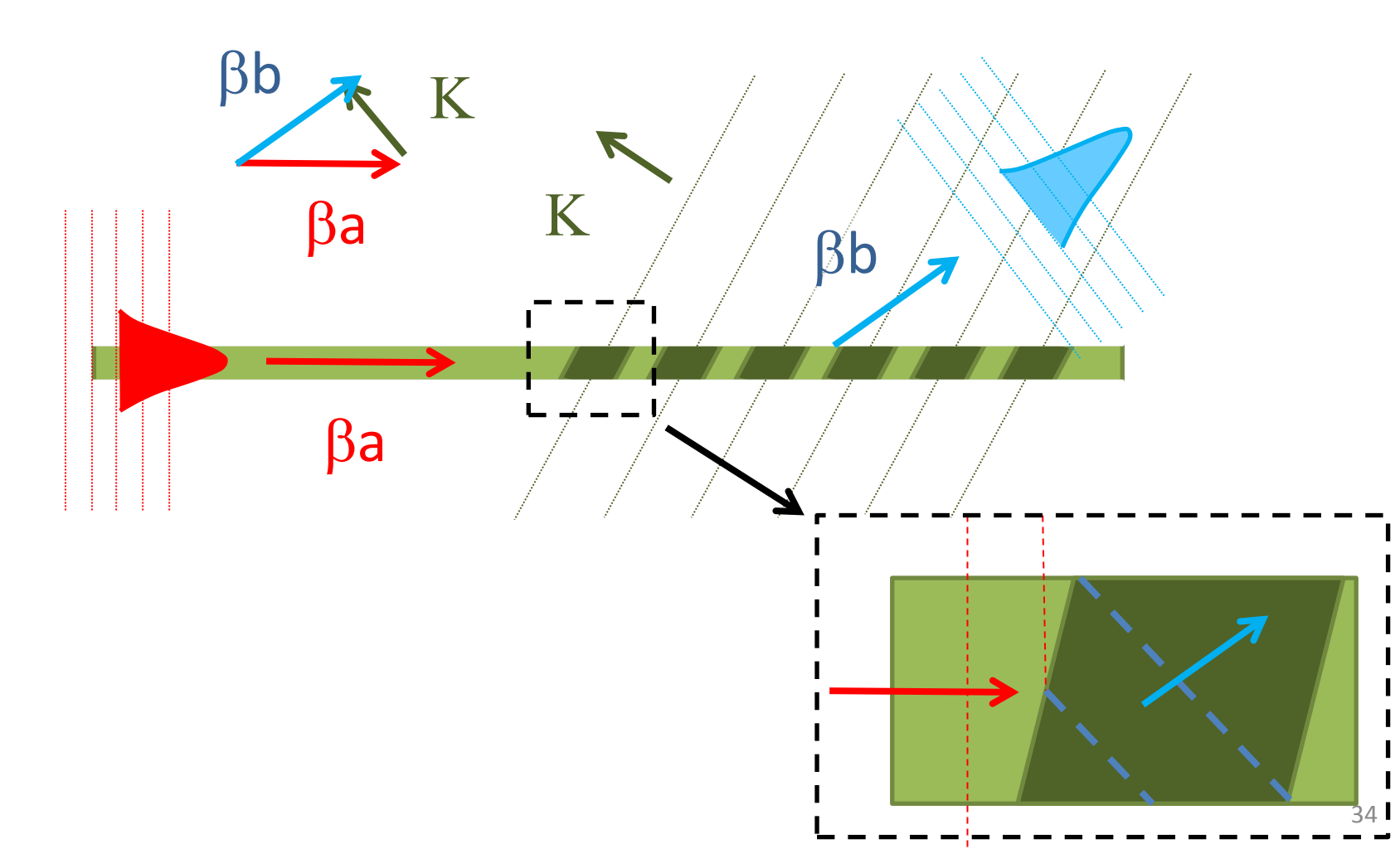


Séparateur/combineur de couleurs

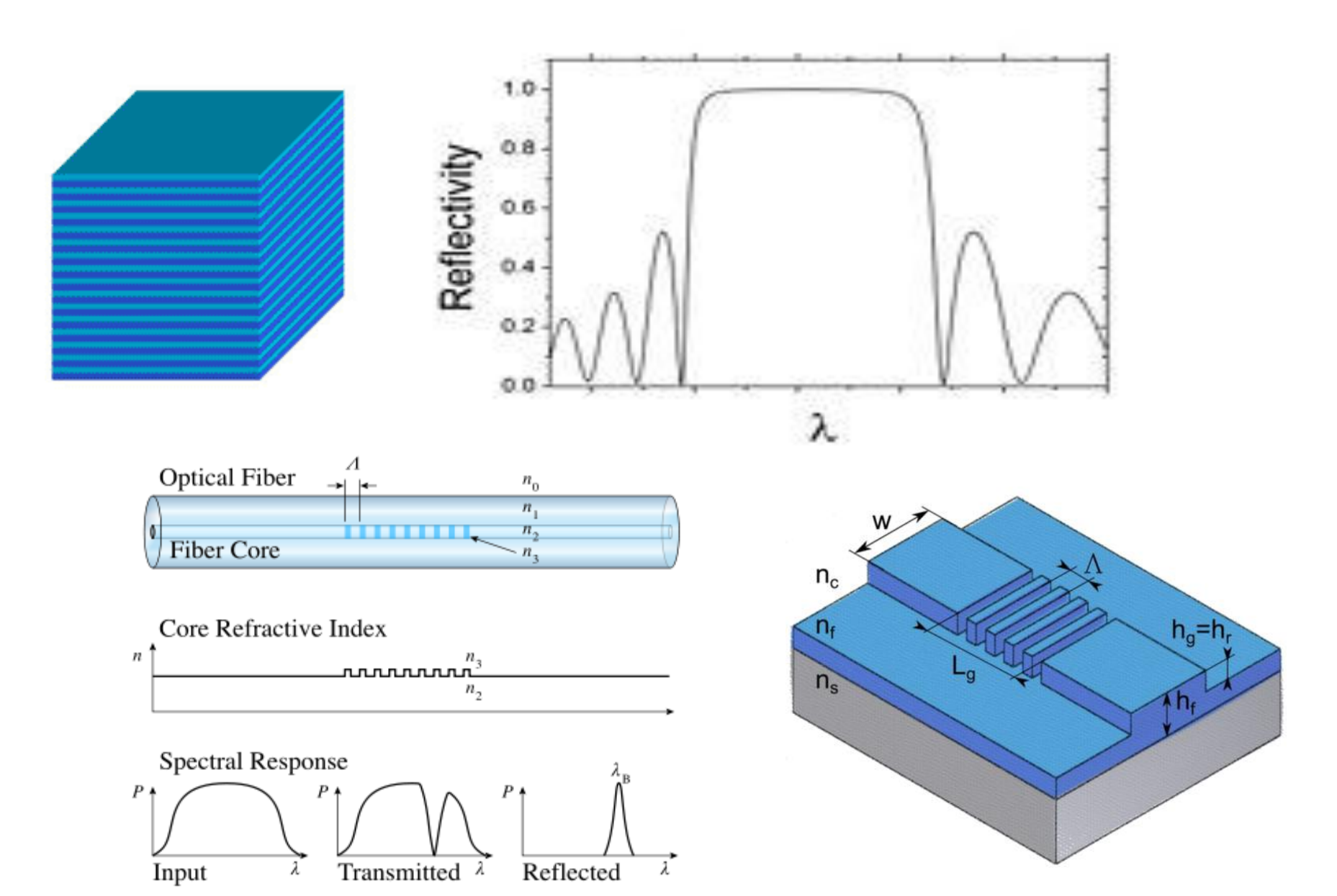


Réseau de diffraction

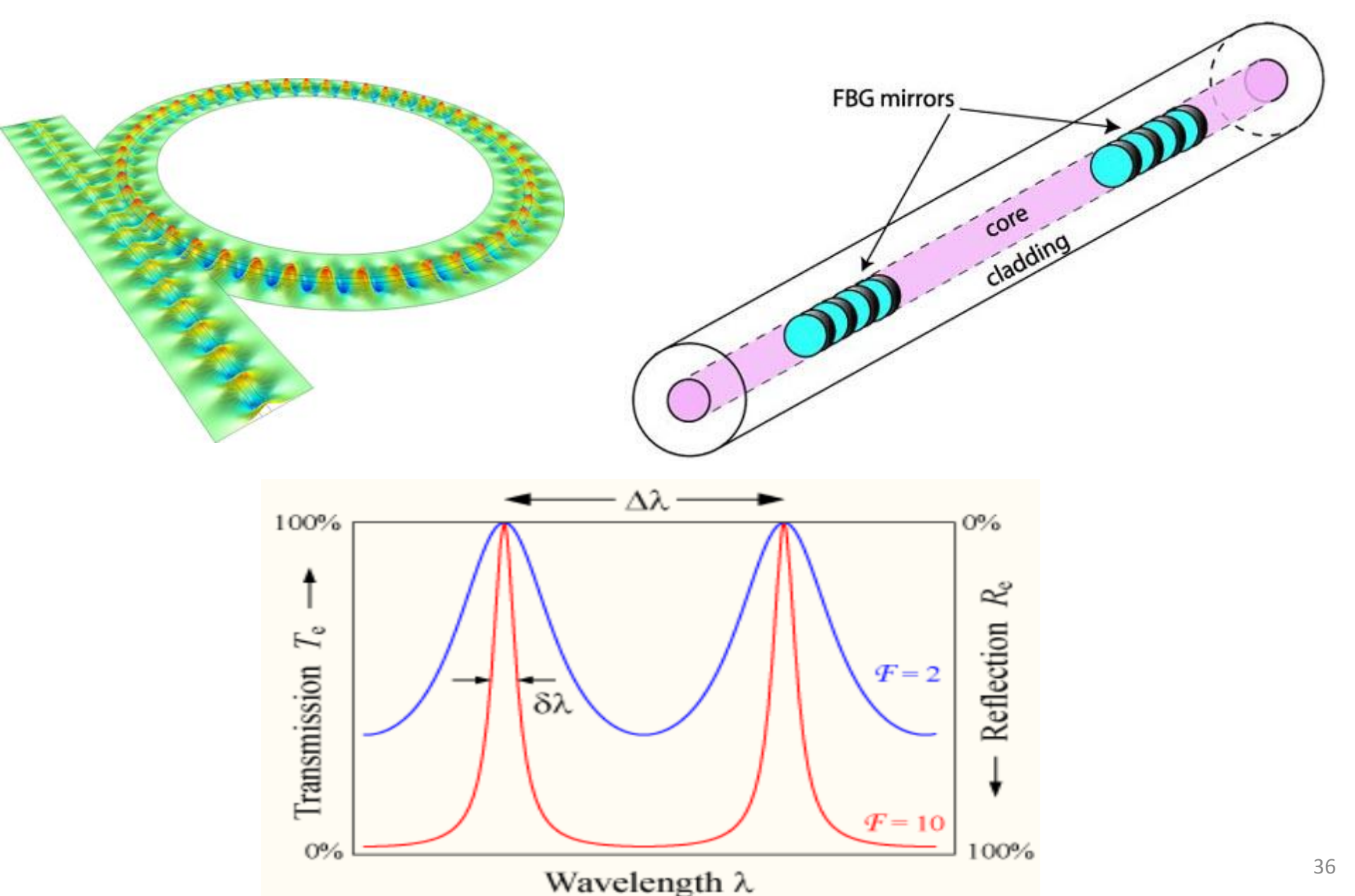
$$\overrightarrow{\beta}_b = \overrightarrow{\beta}_a + q.\overrightarrow{K}, q = 0,\pm 1,\pm 2,...$$



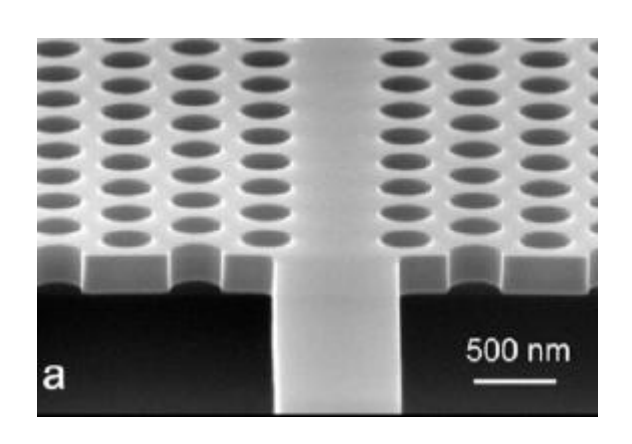
Réflecteur à réseau

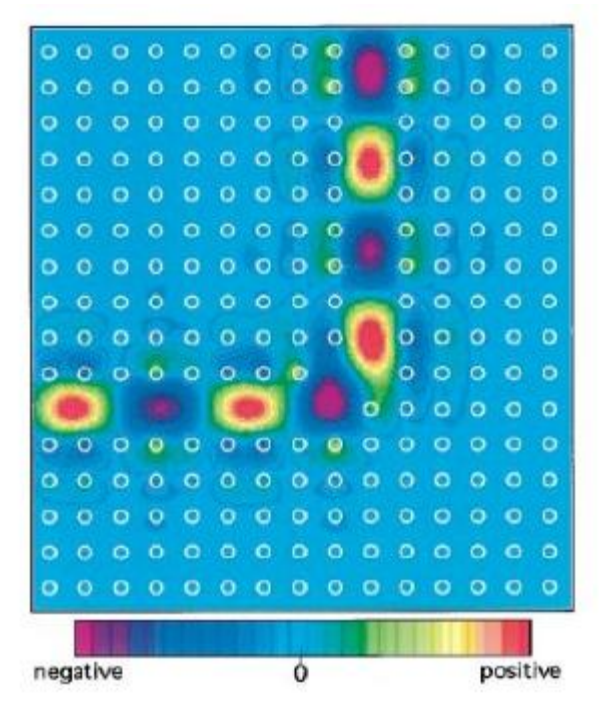


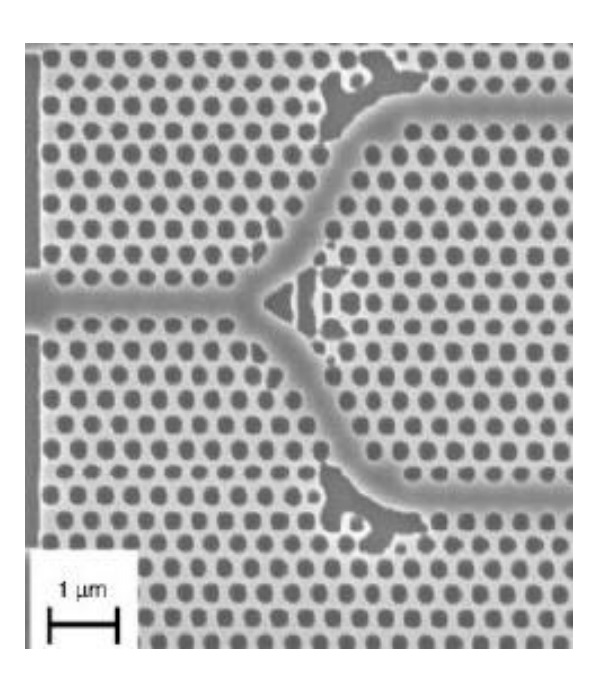
Résonateurs

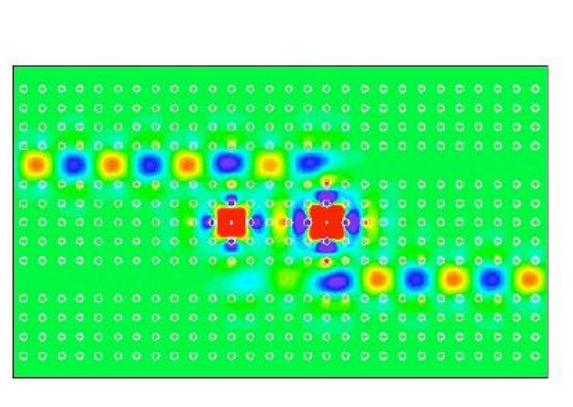


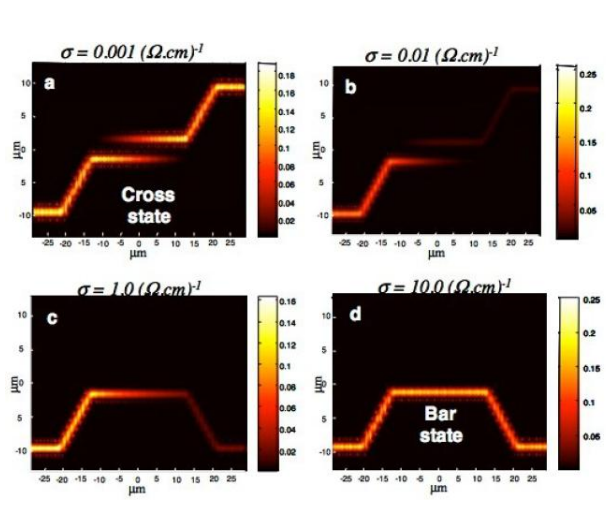
Cristaux photoniques

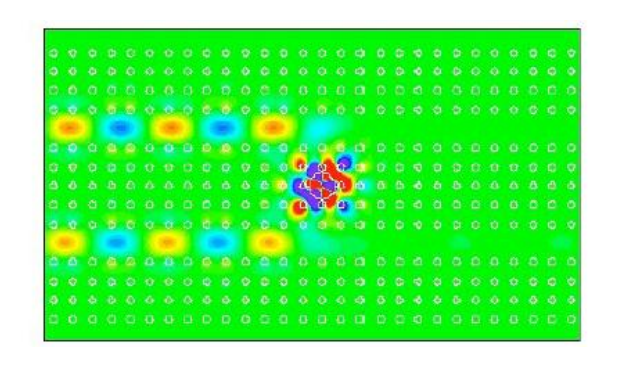


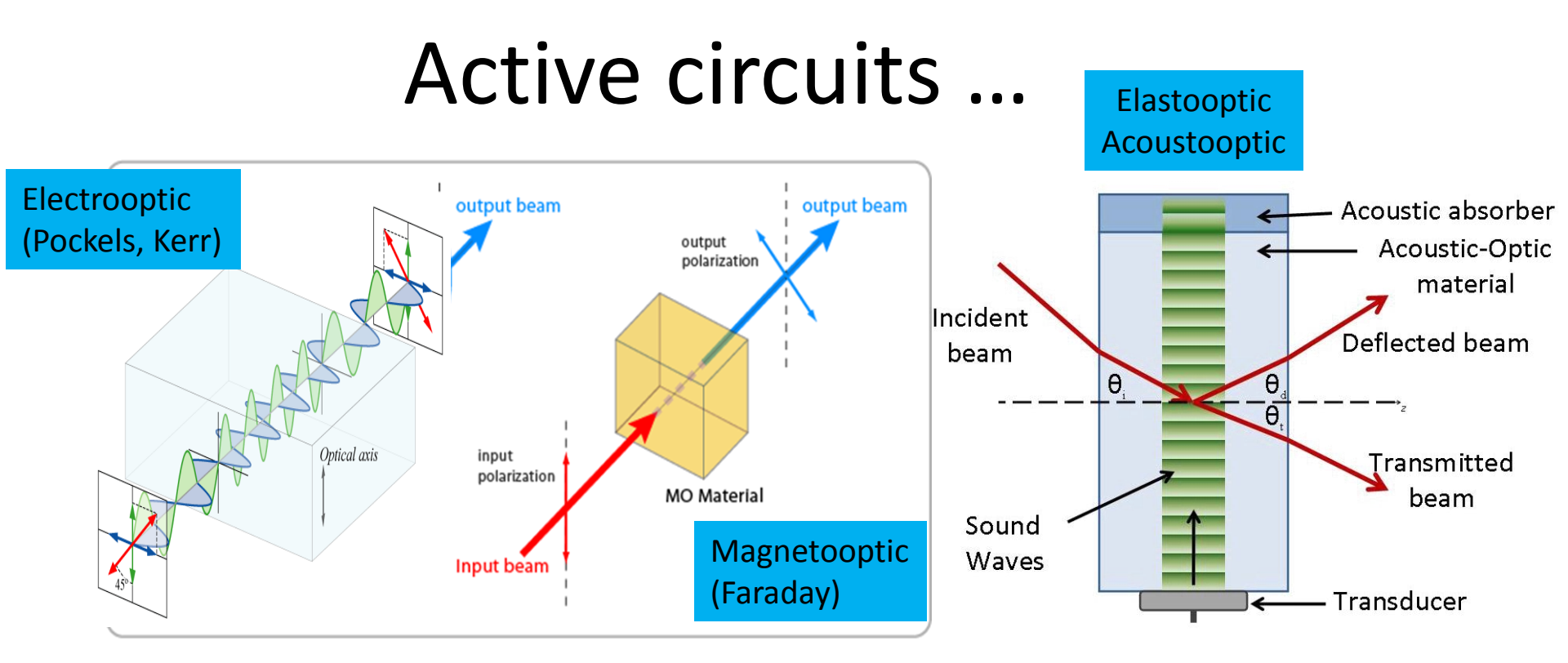


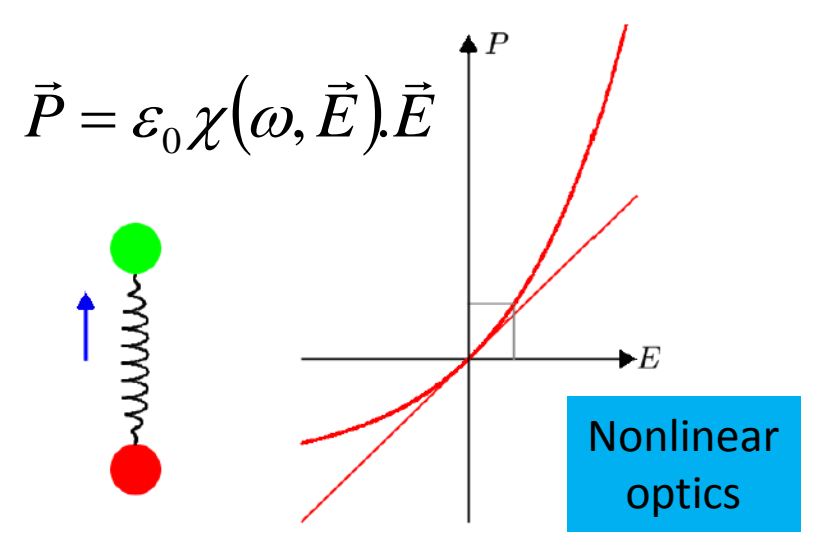












$\chi^{(1)}$	Optique linéaire	Dispersion Absorption	
$\chi^{(2)}$	Optique non-linéaire quadratique	Doublage de fréquence	
$\chi^{(3)}$	Optique non-linéaire du troisième ordre	Effet Kerr optique	